

- ### Условные обозначения
- Q_{IV} Современные аллювиальные отложения
 - J₃ Верхнеюрские отложения
 - Монциты
 - Дайки кварцевых монцитов (дквб), кварцевых порфиров (дкп) и дагеритов (дд).
 - Дайки гранит-порфиров
 - Контактные рововики
 - Окварцованные участки
 - Зоны дробления
 - Разломы: 1. установленные, 2. предполагаемые
 - Пласти песчаников (1) и алевролитов (2)
 - Места находок фауны
 - Содержание золота в шурфах: 1. непромышленное, 2. знаковое
 - Шурфовочные линии и их номера
 - Шлифовые пробы со знаковым содержанием золота
 - Канавы и их номера
 - Отдельный шурф

Содержание золота				Содержание серебра						
М/П	М/П	М/П	Мощн	Спектр.	Химан.	М/П	Мощн	Спектр.	Химан.	
1	64	311	1,0	н.о.		108	70	391	1,0	н.о.
2	312	н.о.				109	392	н.о.		
3	313	н.о.				110	393	н.о.		
4	315	н.о.				111	395	н.о.		
5	315	н.о.				112	395	н.о.		
6	316	н.о.				113	396	н.о.		
7	317	н.о.				114	397	н.о.		
8	318	н.о.				115	398	н.о.		
9	319	н.о.				116	399	н.о.		
10	320	н.о.				117	400	н.о.		
11	321	н.о.				118	401	н.о.		
12	322	н.о.				119	402	н.о.		
13	323	н.о.				120	403	н.о.		
14	324	н.о.				121	404	н.о.		
15	325	н.о.				122	405	н.о.		
16	326	н.о.				123	406	н.о.		
17	327	н.о.				124	407	н.о.		
18	328	н.о.				125	408	н.о.		
19	329	н.о.				126	409	н.о.		
20	330	н.о.				127	410	н.о.		
21	331	н.о.				128	411	н.о.		
22	332	н.о.				129	412	н.о.		
23	333	н.о.				130	413	н.о.		
24	334	н.о.				131	414	н.о.		
25	335	н.о.				132	415	н.о.		
26	336	н.о.				133	416	н.о.		
27	337	н.о.				134	417	н.о.		
28	338	н.о.				135	418	н.о.		
29	339	н.о.				136	419	н.о.		
30	340	н.о.				137	420	н.о.		
31	341	н.о.				138	421	н.о.		
32	342	н.о.				139	422	н.о.		
33	343	н.о.				140	423	н.о.		
34	344	н.о.				141	424	н.о.		
35	345	н.о.				142	425	н.о.		
36	346	н.о.				143	426	н.о.		
37	347	н.о.				144	427	н.о.		
38	348	н.о.				145	428	н.о.		
39	349	н.о.				146	429	н.о.		
40	350	н.о.				147	430	н.о.		
41	351	н.о.				148	431	н.о.		
42	352	н.о.				149	432	н.о.		
43	353	н.о.				150	433	н.о.		
44	354	н.о.				151	434	н.о.		
45	355	н.о.				152	435	н.о.		
46	356	н.о.				153	436	н.о.		
47	357	н.о.				154	437	н.о.		
48	358	н.о.				155	438	н.о.		
49	359	н.о.				156	439	н.о.		
50	360	н.о.				157	440	н.о.		
51	361	н.о.				158	441	н.о.		
52	362	н.о.				159	442	н.о.		
53	363	н.о.				160	443	н.о.		
54	364	н.о.				161	444	н.о.		
55	365	н.о.				162	445	н.о.		
56	366	н.о.				163	446	н.о.		
57	367	н.о.				164	447	н.о.		
58	368	н.о.				165	448	н.о.		
59	369	н.о.				166	449	н.о.		
60	370	н.о.				167	450	н.о.		
61	371	н.о.				168	451	н.о.		
62	372	н.о.				169	452	н.о.		
63	373	н.о.				170	453	н.о.		
64	374	н.о.				171	454	н.о.		
65	375	н.о.				172	455	н.о.		
66	376	н.о.				173	456	н.о.		
67	377	н.о.				174	457	н.о.		
68	378	н.о.				175	458	н.о.		
69	379	н.о.				176	459	н.о.		
70	380	н.о.				177	460	н.о.		
71	381	н.о.				178	461	н.о.		
72	382	н.о.				179	462	н.о.		
73	383	н.о.				180	463	н.о.		
74	384	н.о.				181	464	н.о.		
75	385	н.о.				182	465	н.о.		
76	386	н.о.				183	466	н.о.		
77	387	н.о.				184	467	н.о.		
78	388	н.о.				185	468	н.о.		
79	389	н.о.				186	469	н.о.		
80	390	н.о.				187	470	н.о.		
81	391	н.о.				188	471	н.о.		
82	392	н.о.				189	472	н.о.		
83	393	н.о.				190	473	н.о.		
84	394	н.о.				191	474	н.о.		
85	395	н.о.				192	475	н.о.		
86	396	н.о.				193	476	н.о.		
87	397	н.о.				194	477	н.о.		
88	398	н.о.				195	478	н.о.		
89	399	н.о.				196	479	н.о.		
90	400	н.о.				197	480	н.о.		
91	401	н.о.				198	481	н.о.		
92	402	н.о.				199	482	н.о.		
93	403	н.о.				200	483	н.о.		
94	404	н.о.				201	484	н.о.		
95	405	н.о.				202	485	н.о.		
96	406	н.о.				203	486	н.о.		
97	407	н.о.				204	487	н.о.		
98	408	н.о.				205	488	н.о.		
99	409	н.о.				206	489	н.о.		
100	410	н.о.				207	490	н.о.		
101	411	н.о.				208	491	н.о.		
102	412	н.о.				209	492	н.о.		
103	413	н.о.				210	493	н.о.		
104	414	н.о.				211	494	н.о.		
105	415	н.о.				212	495	н.о.		
106	416	н.о.				213	496	н.о.		
107	417	н.о.				214	497	н.о.		

Вычертил / М.М. Каминский /
Корректировал / В.В. Кудин /

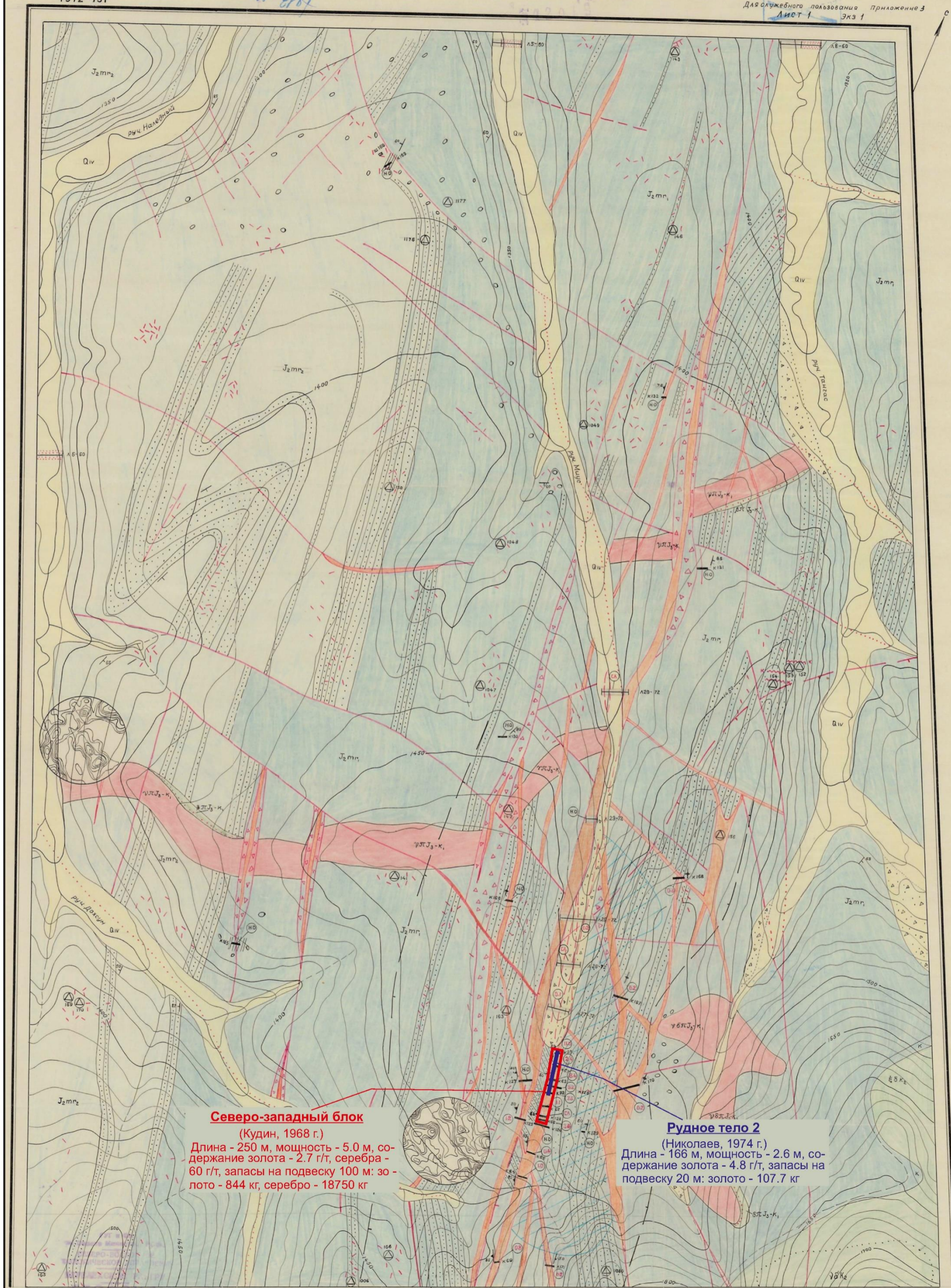
Приложение 1. Канавы (Кудин, 1961 г., 1968 г.)

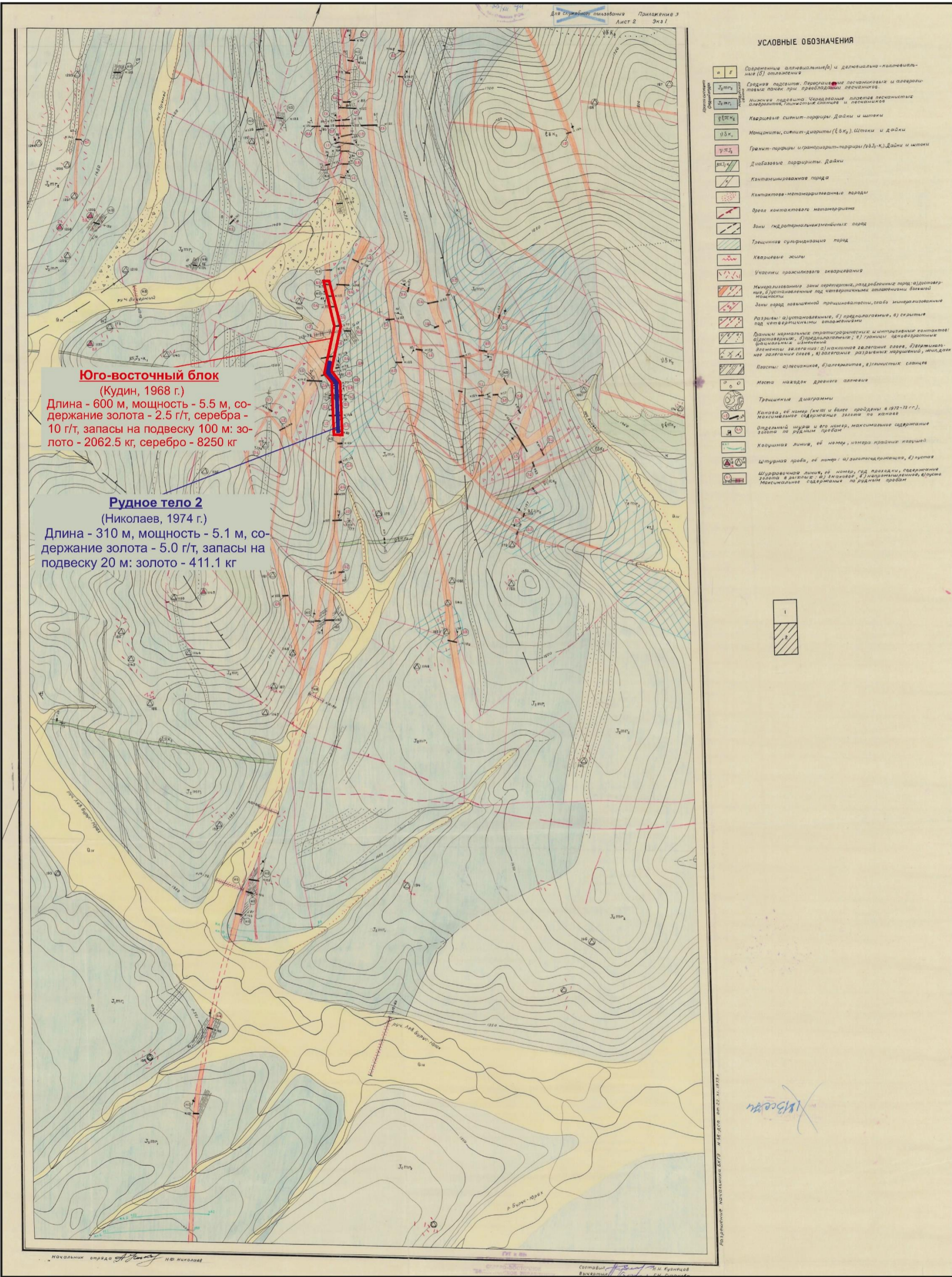
МИНИСТЕРСТВО ГЕОЛОГИИ РСФСР
СЕВЕРО-ВОСТОЧНОЕ ТЕРРИТОРИАЛЬНОЕ ГЕОЛОГИЧЕСКОЕ УПРАВЛЕНИЕ
БЕРЕЛЕХСКАЯ КОМПЛЕКСНАЯ ГЕОЛОГОРАЗВЕДочНАЯ ЭКСПЕДИЦИЯ
ПОВОРОТНИНСКАЯ ПОИСКОВАЯ ПАРТИЯ

ГЕОЛОГО-СТРУКТУРНЫЙ ПЛАН НАЛЕДНИНСКОГО РУДНОГО ПОЛЯ

1972-73г

МАСШТАБ 1:5000

Для служебного пользования Приложение 3
Лист 1 Экз 1

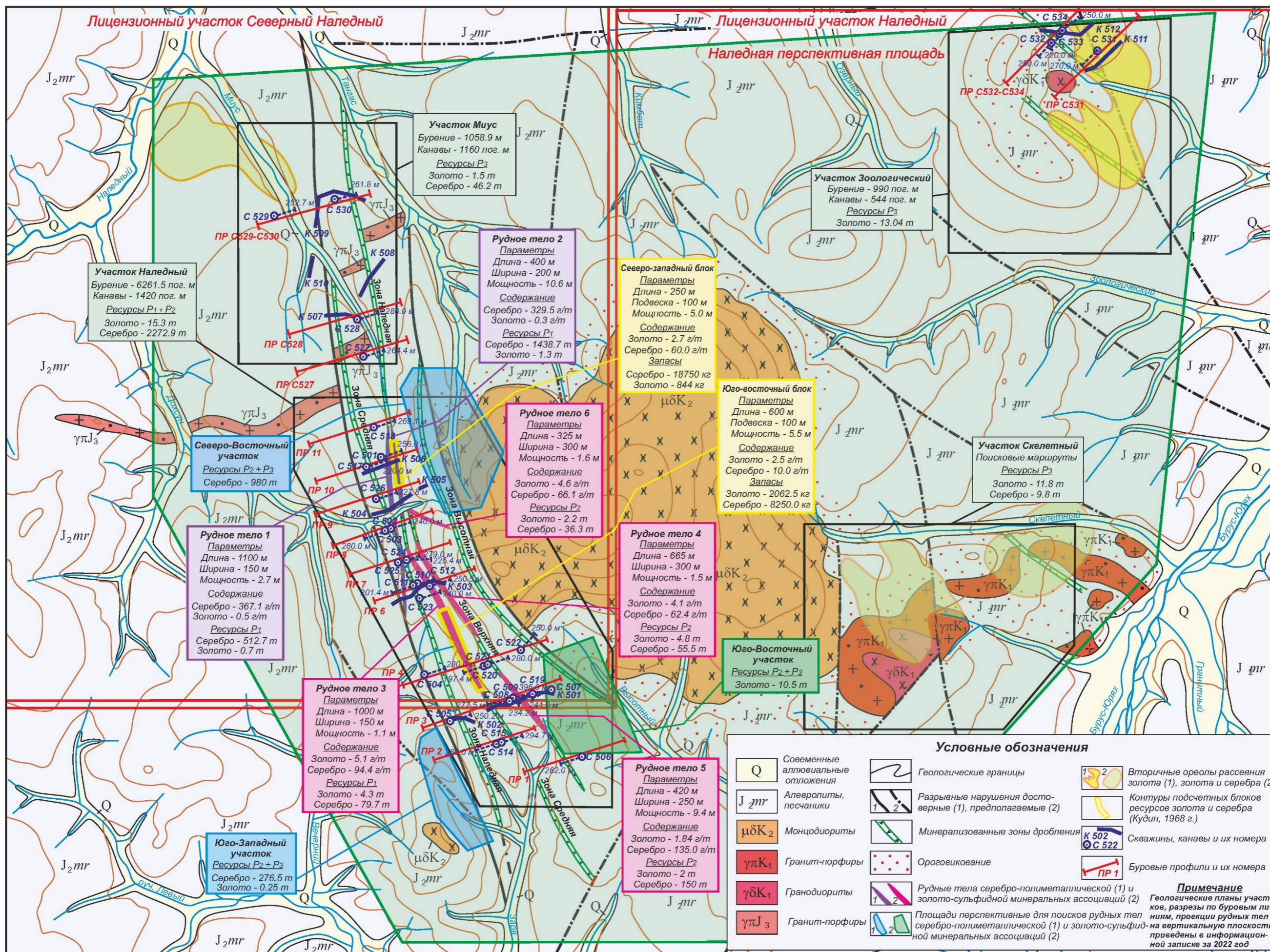


Приложение 3. Канавы 2 (Николаев, 1974 г.)

Результаты бороздowego опробования Наледнинского рудного поля

Table with 10 columns: No, Date, Location, Depth, etc. It contains a dense grid of data points for various sampling locations and dates.

Приложение 4. Таблица опробования канав (Николов, 1974 г.)



Приложение 5. Наледная перспективная площадь с рудными телами

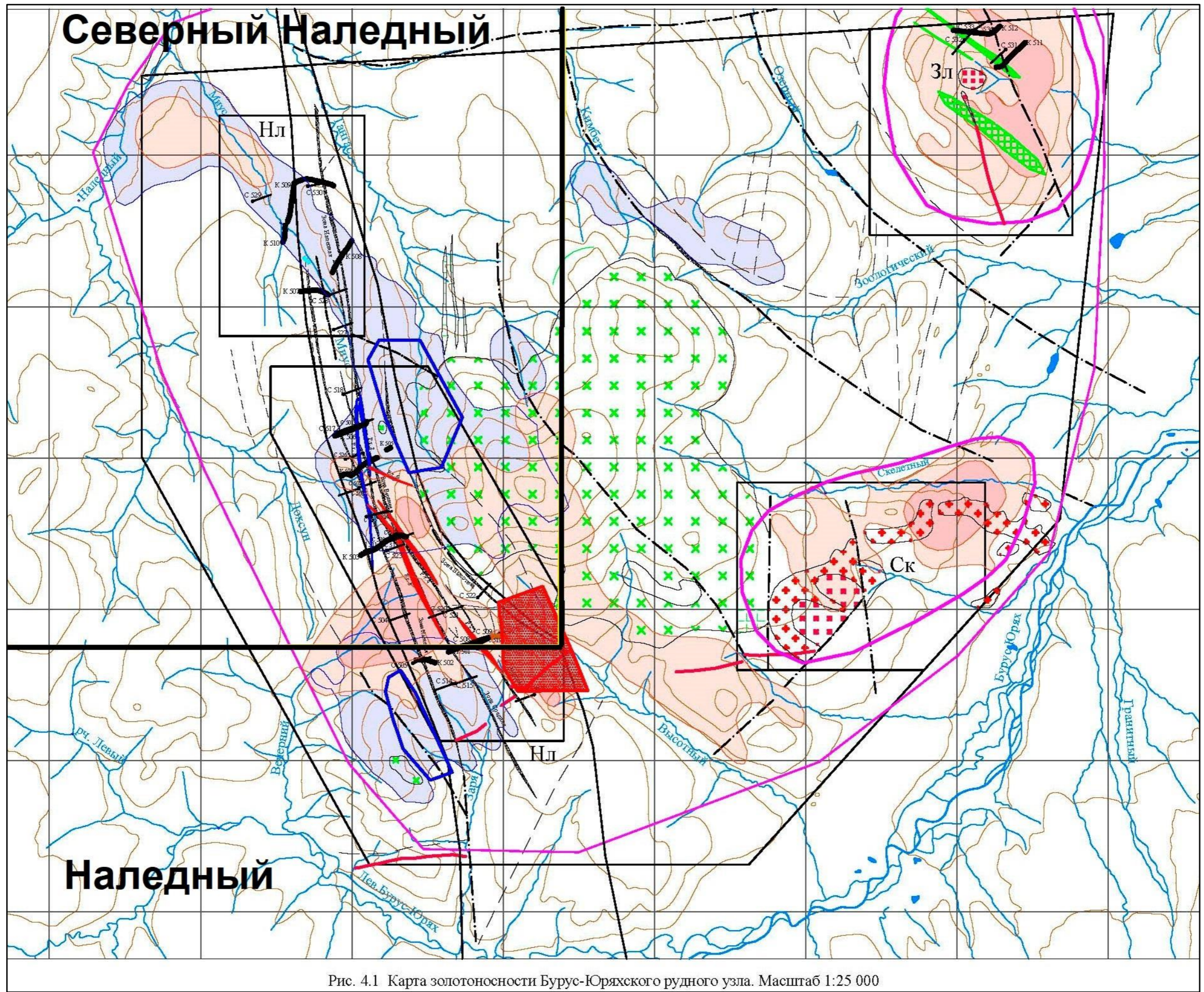


Рис. 4.1 Карта золотоносности Бурей-Юрхского рудного узла. Масштаб 1:25 000

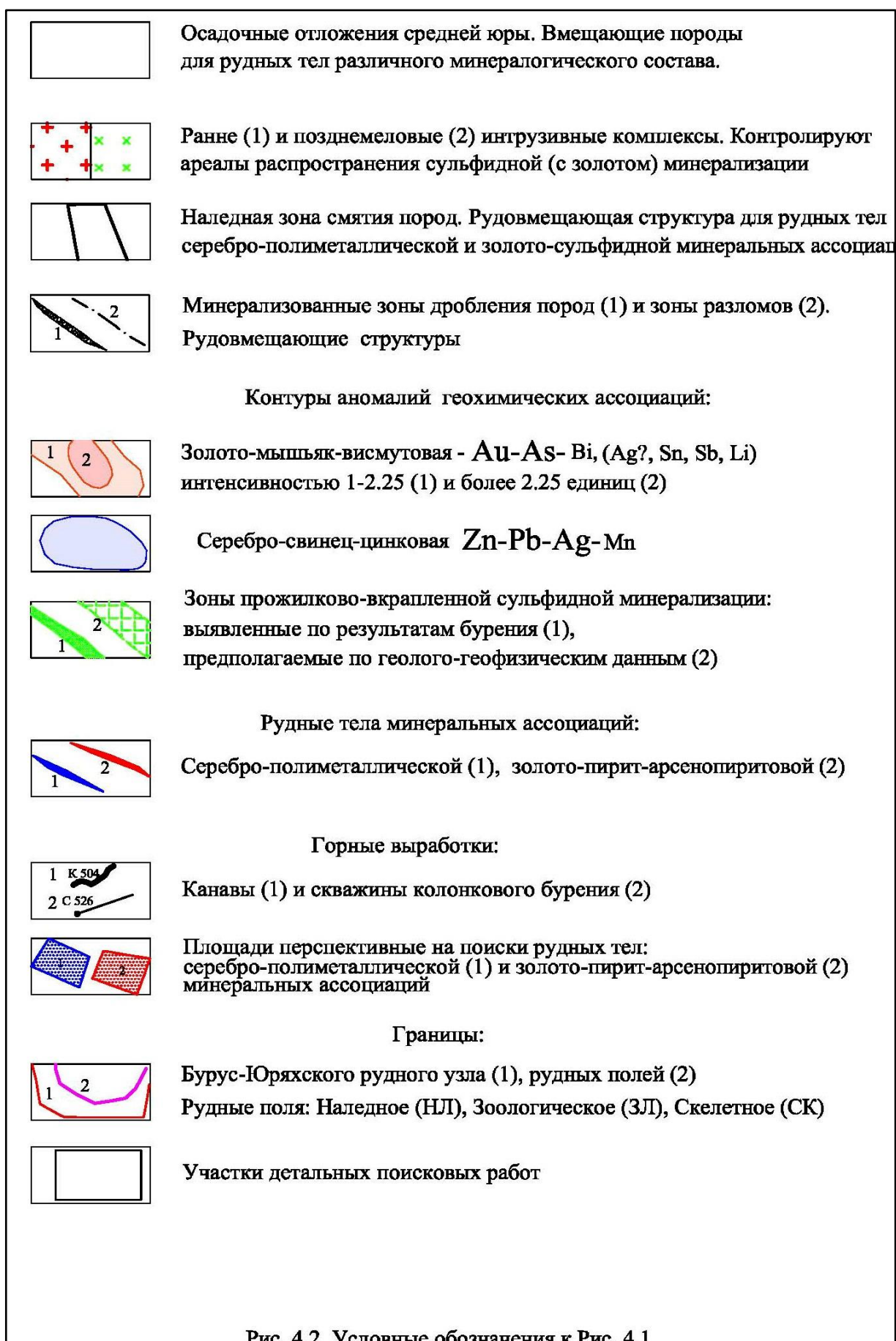
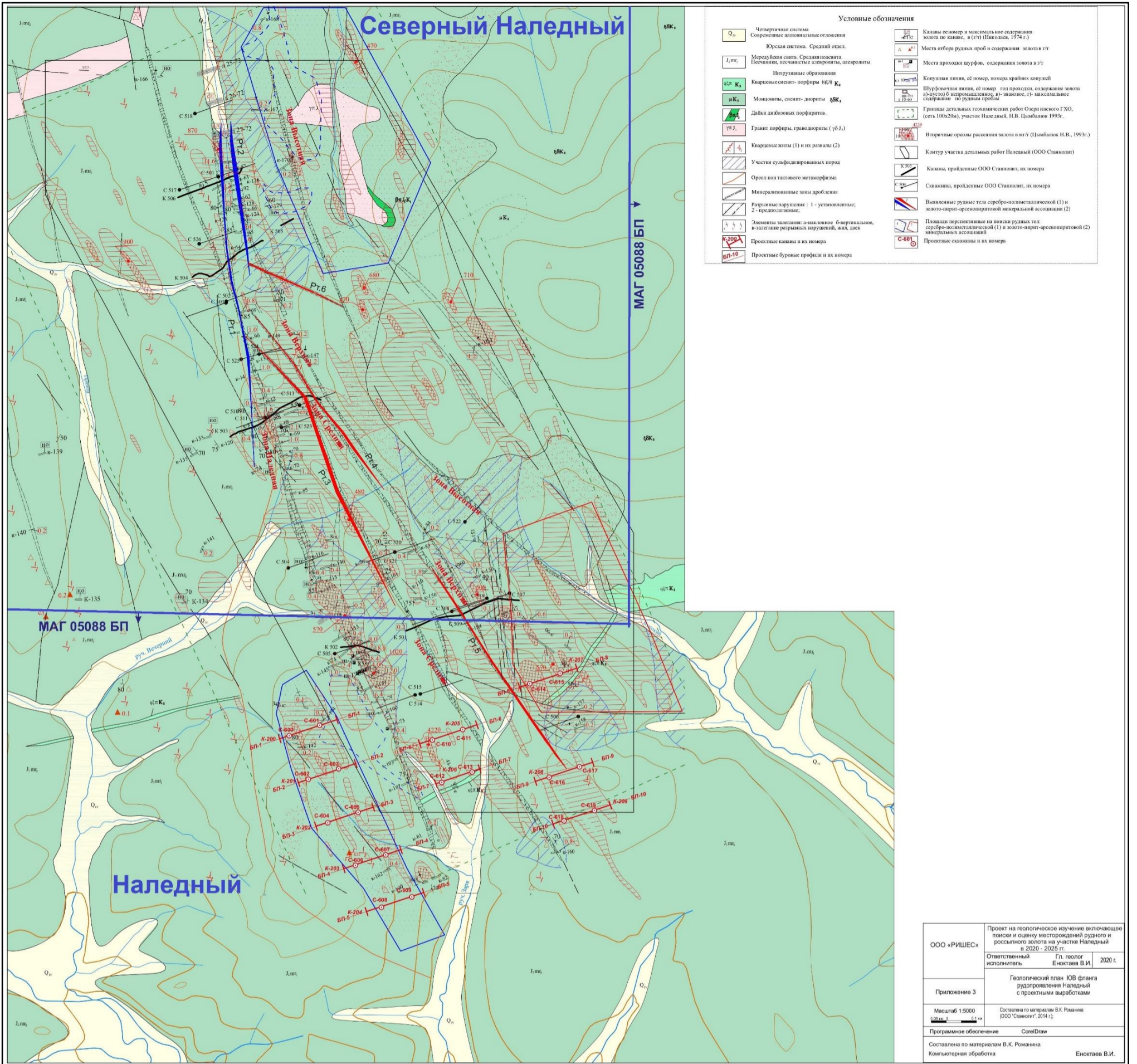
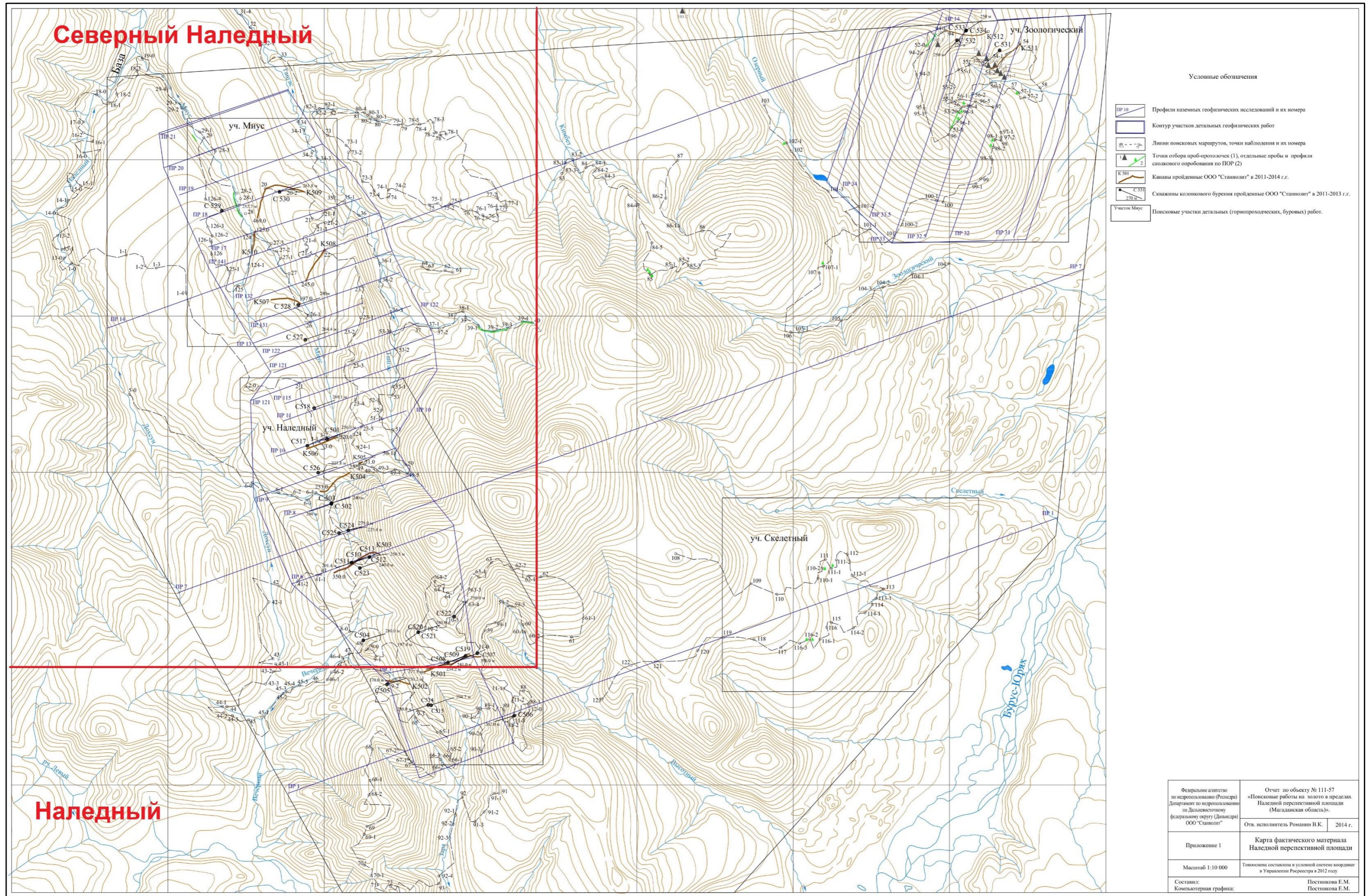


Рис. 4.2 Условные обозначения к Рис. 4.1



Приложение 8. Геологическая карта участка Наледный масштаба 1:5 000

ООО «РИШЕС»	Проект на геологическое изучение включение поиски и оценку месторождений рудного и россыпного золота на участке Наледный в 2020 - 2025 гг.		
Ответственный исполнитель	Гл. геолог	Енюктаев В.И.	2020 г.
Приложение 3	Геологический план ЮВ фланга рудопроявления Наледный с проектными выработками		
Масштаб 1:5000	Составлена по материалам В.К. Романина (ООО «Станогит», 2014 г.)		
Программное обеспечение	CorelDraw		
Компьютерная обработка	Енюктаев В.И.		



Приложение 9. Карта фактического материала Наледной перспективной площади масштаба 1:25 000

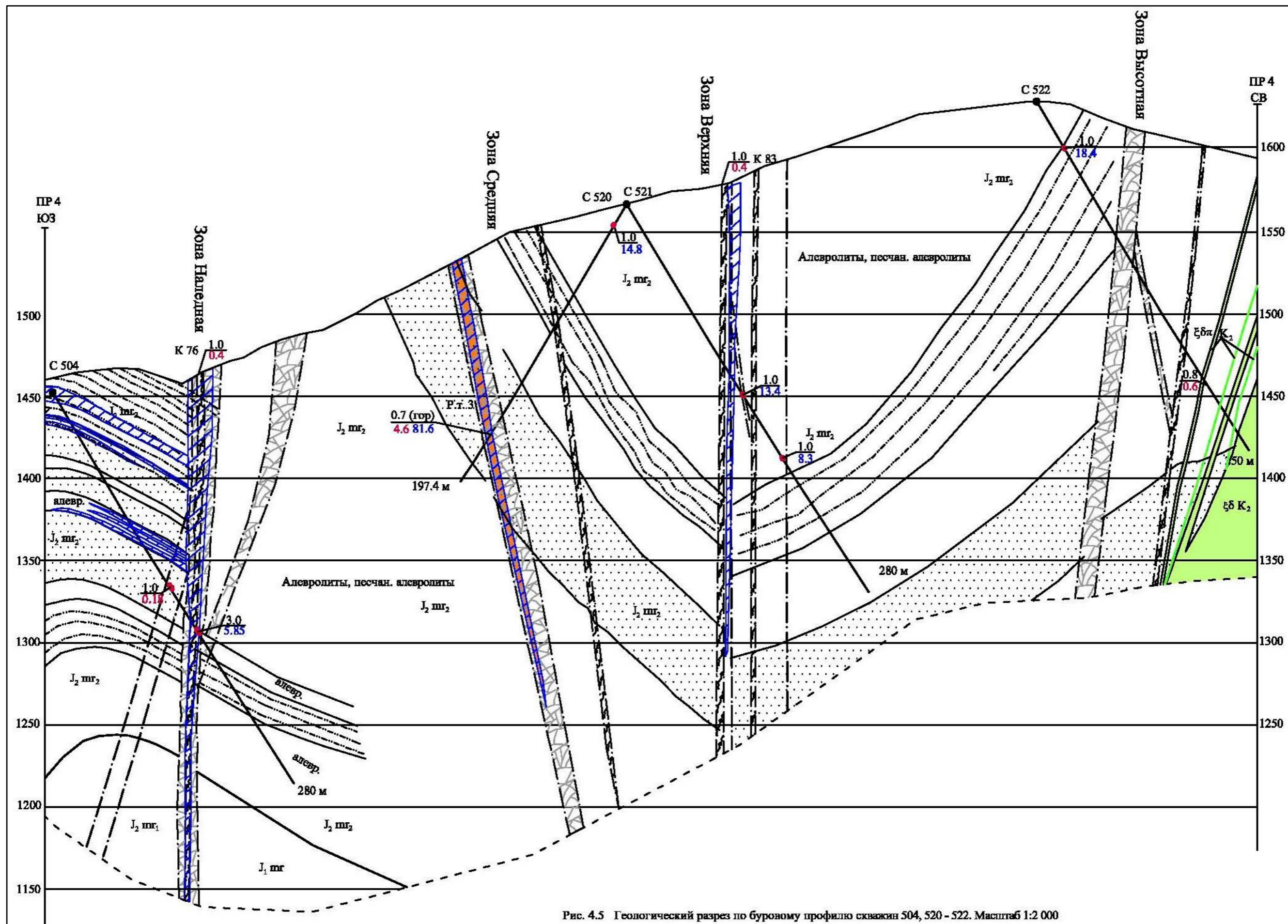


Рис. 4.5 Геологический разрез по буровому профилю скважин 504, 520 - 522. Масштаб 1:2 000

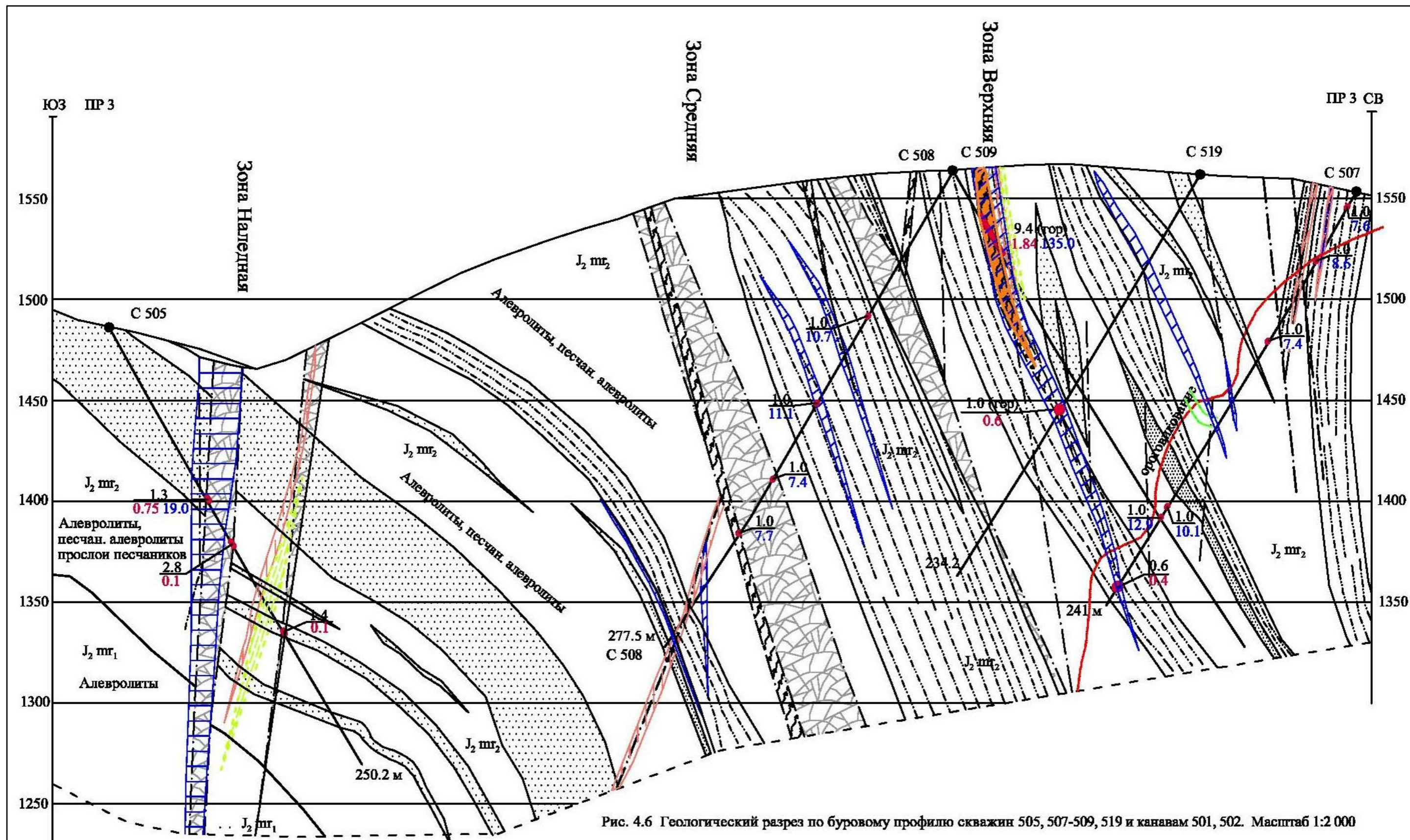


Рис. 4.6 Геологический разрез по буровому профилю скважин 505, 507-509, 519 и канавам 501, 502. Масштаб 1:2 000

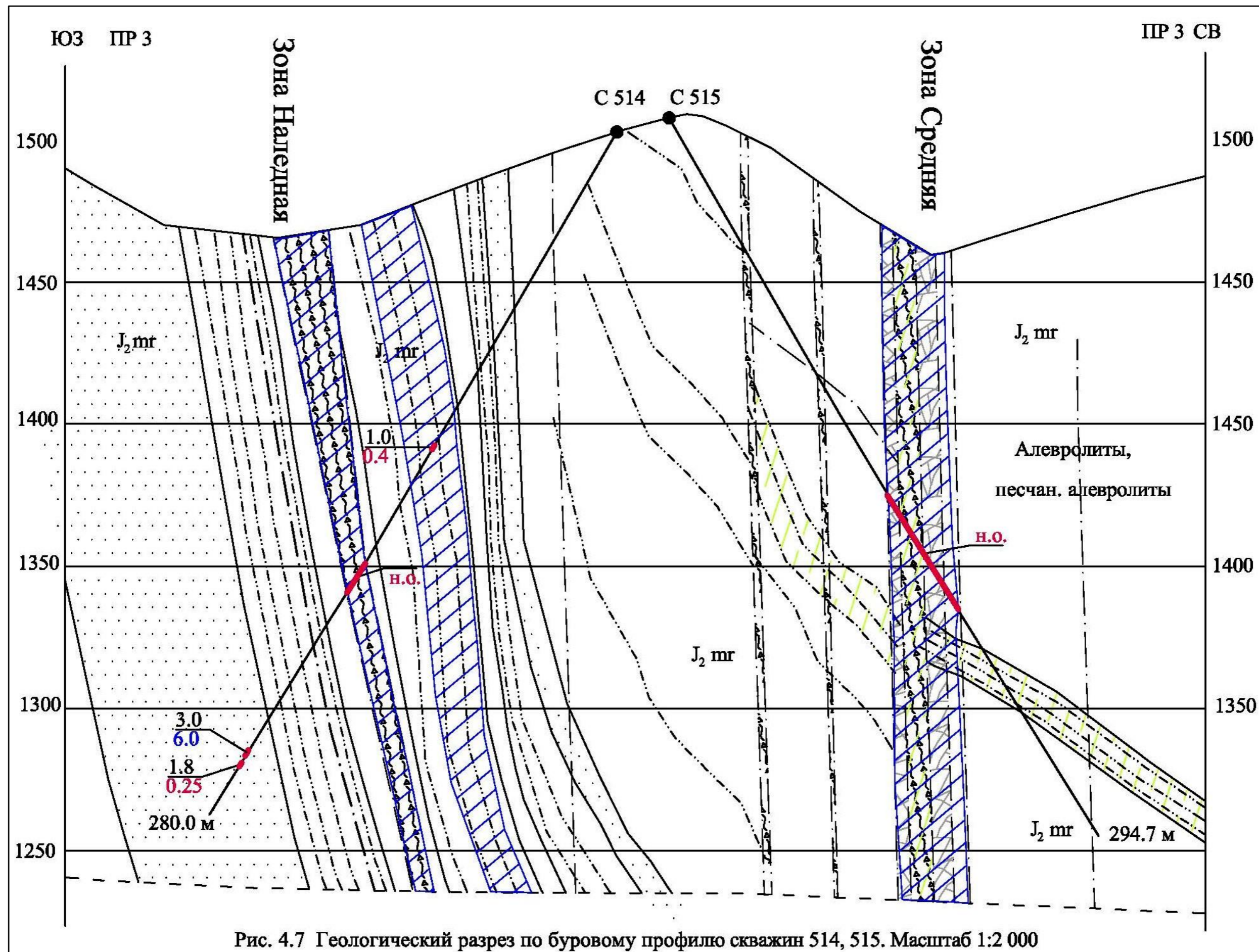
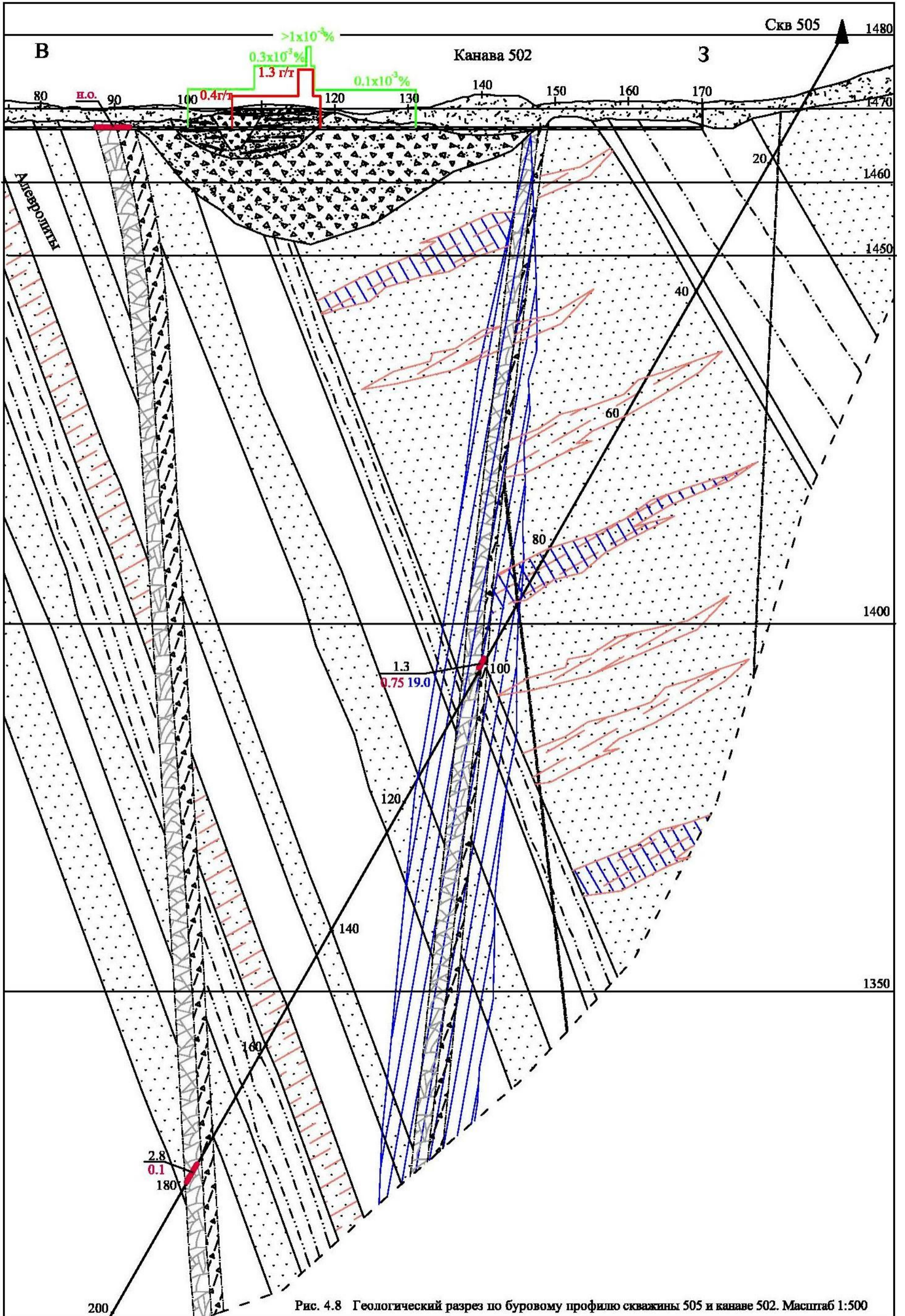


Рис. 4.7 Геологический разрез по буровому профилю скважин 514, 515. Масштаб 1:2 000



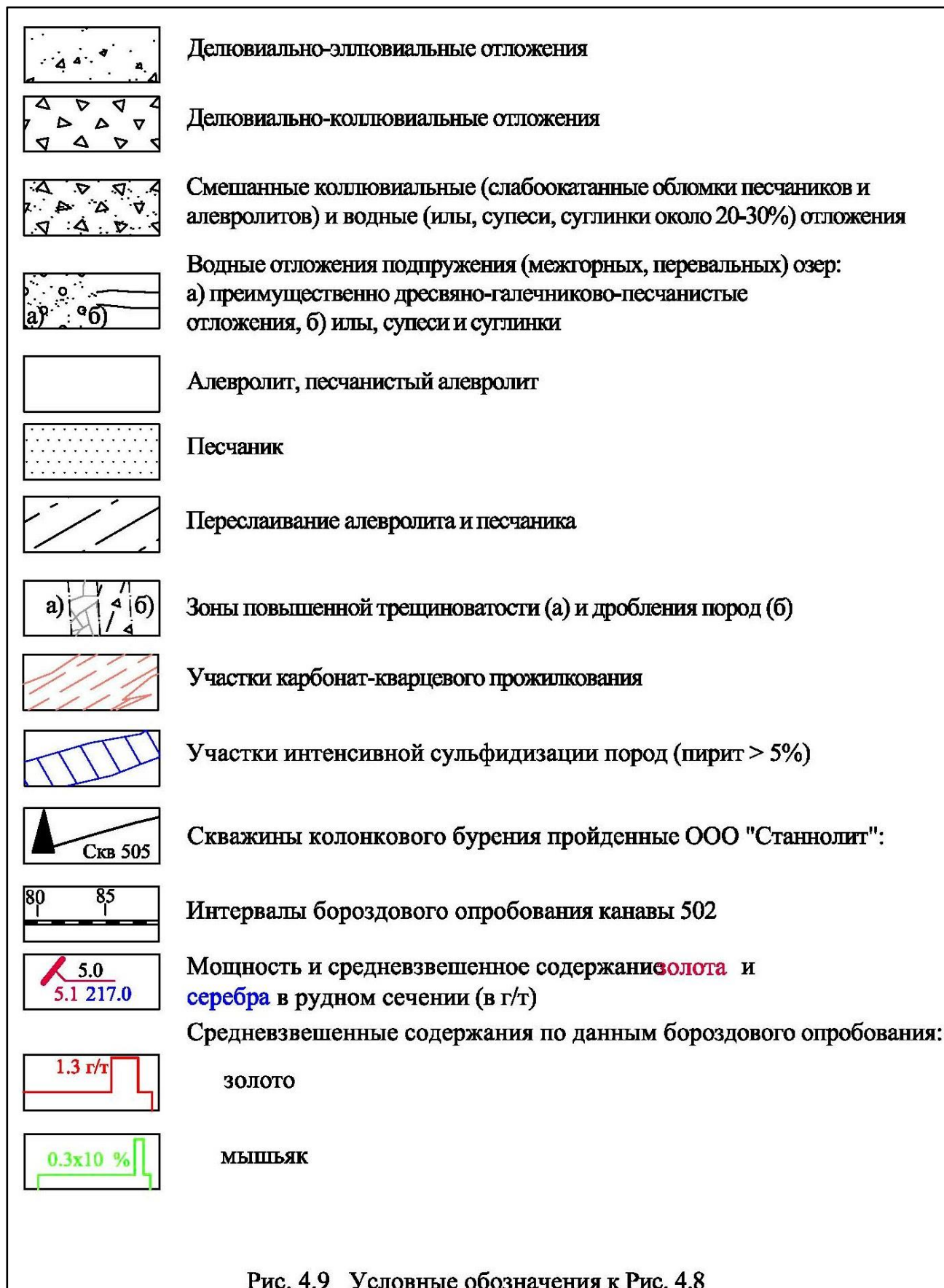


Рис. 4.9 Условные обозначения к Рис. 4.8

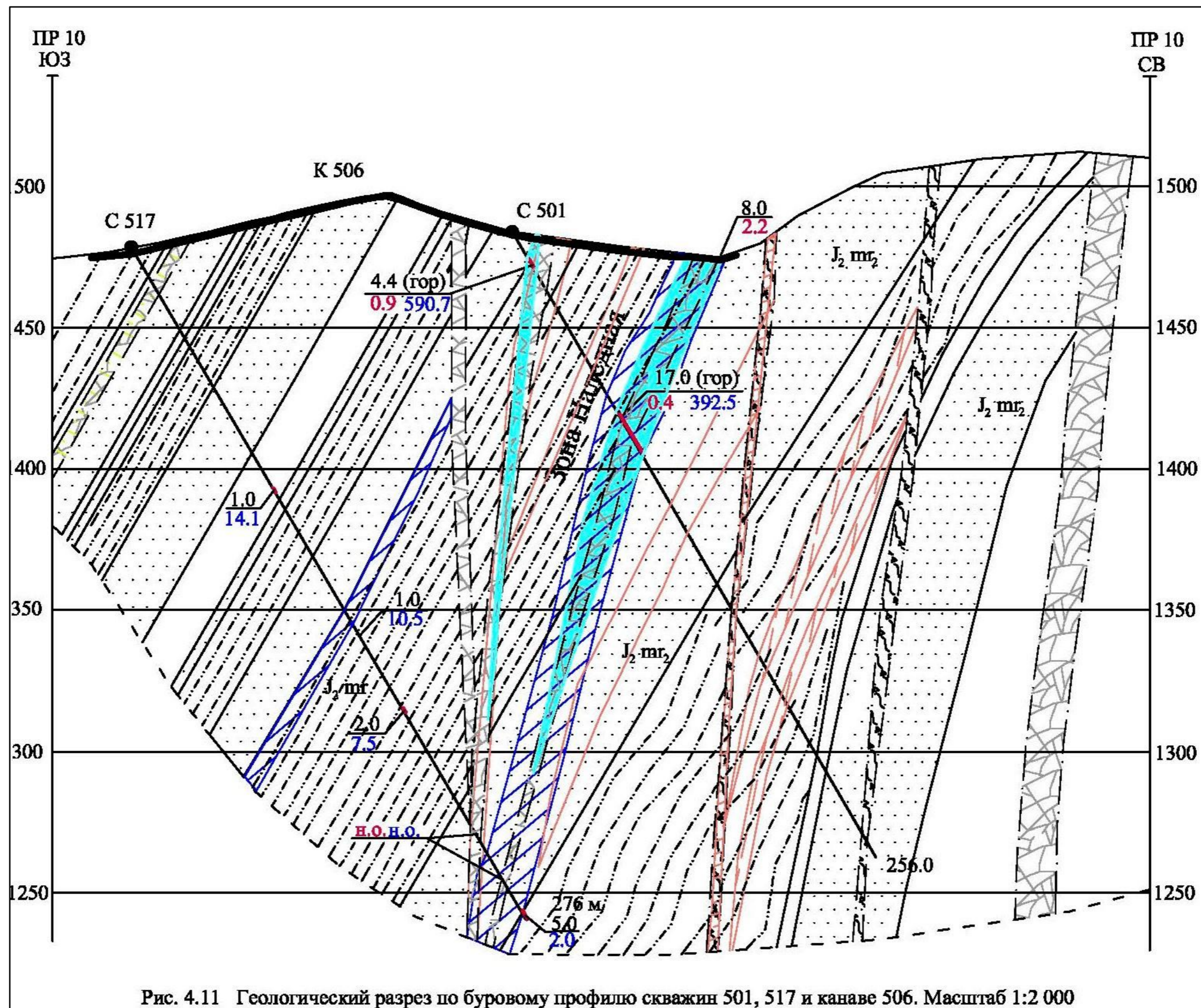


Рис. 4.11 Геологический разрез по буровому профилю скважин 501, 517 и канаве 506. Масштаб 1:2 000

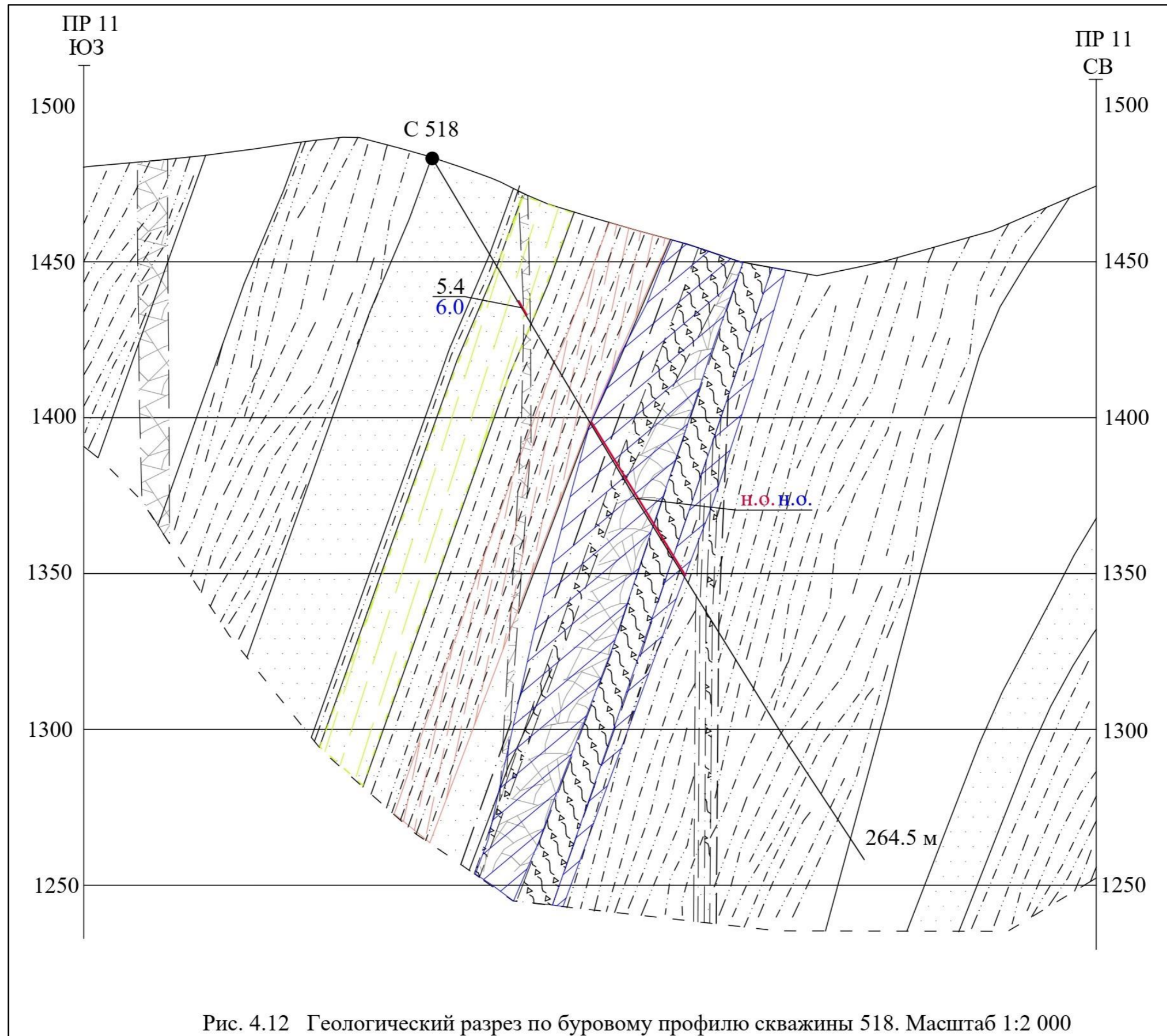
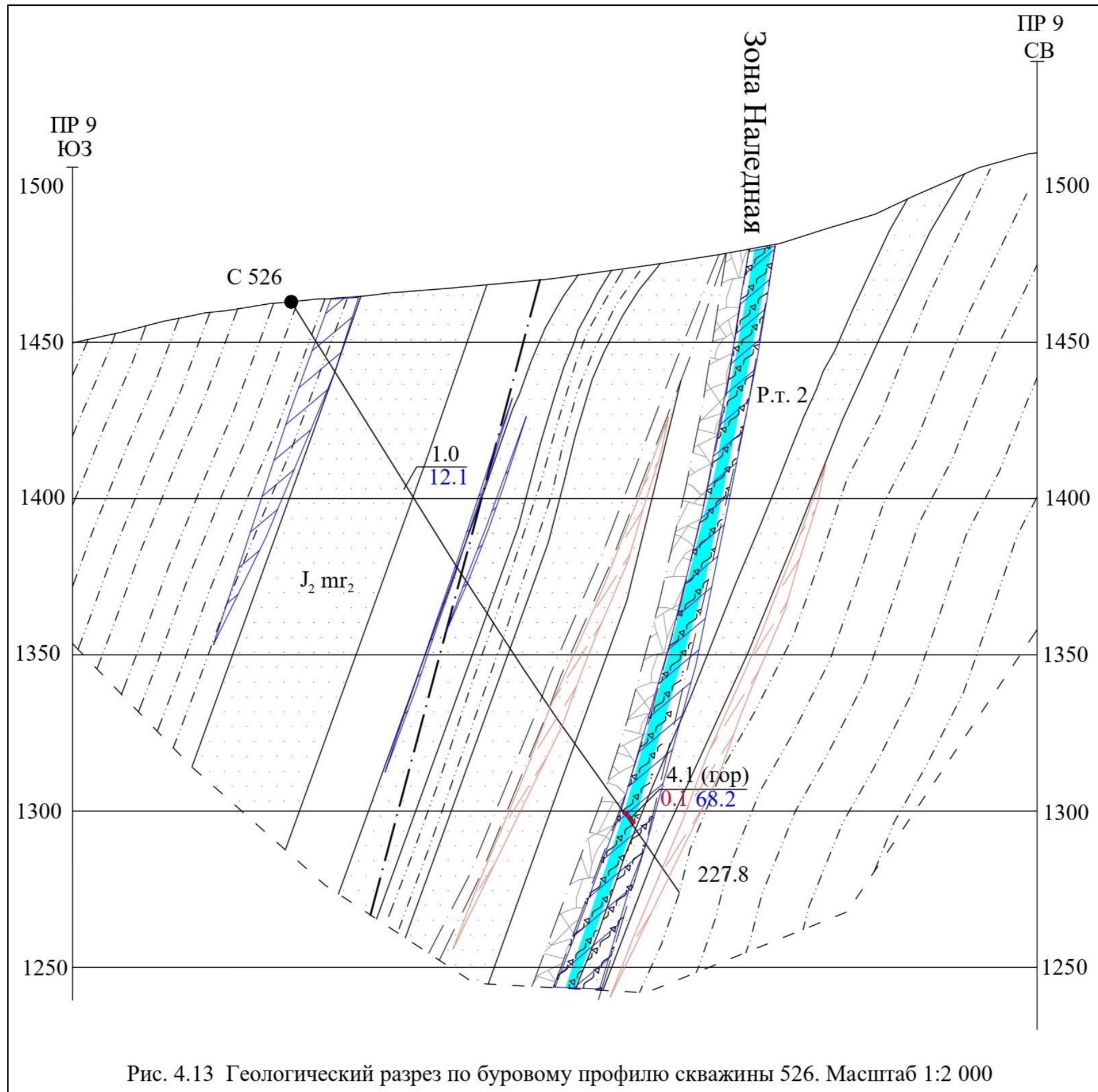
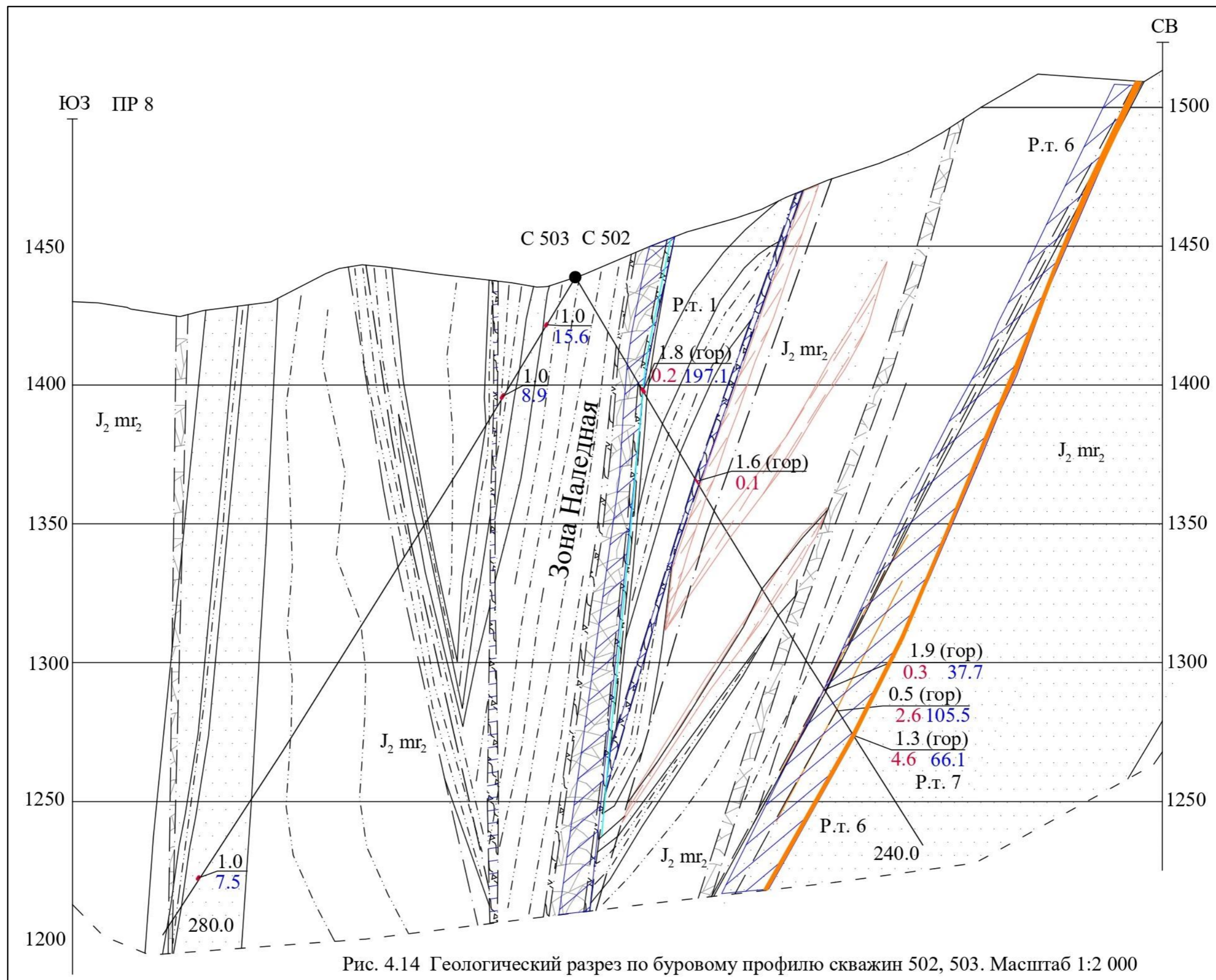


Рис. 4.12 Геологический разрез по буровому профилю скважины 518. Масштаб 1:2 000





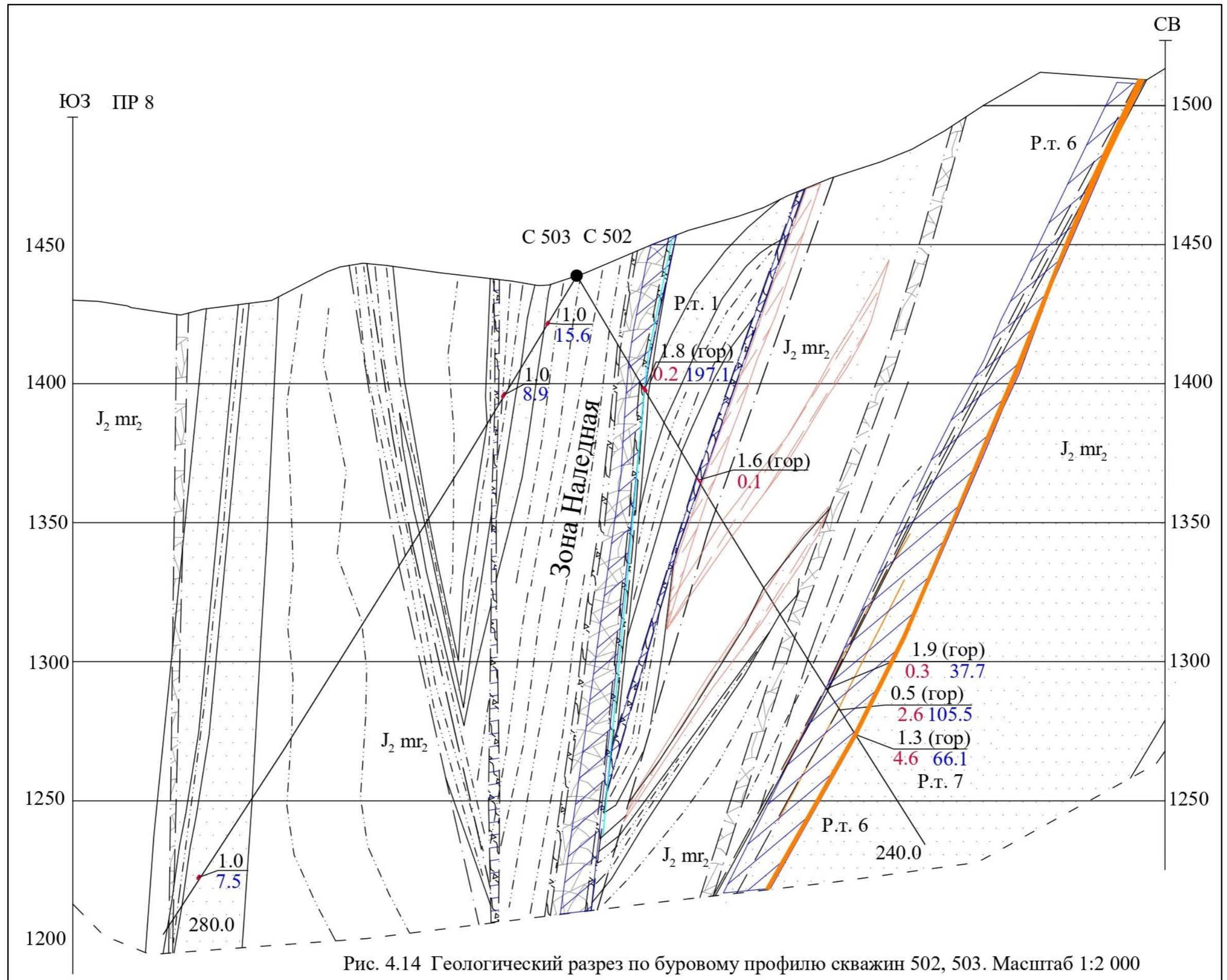


Рис. 4.14 Геологический разрез по буровому профилю скважин 502, 503. Масштаб 1:2 000

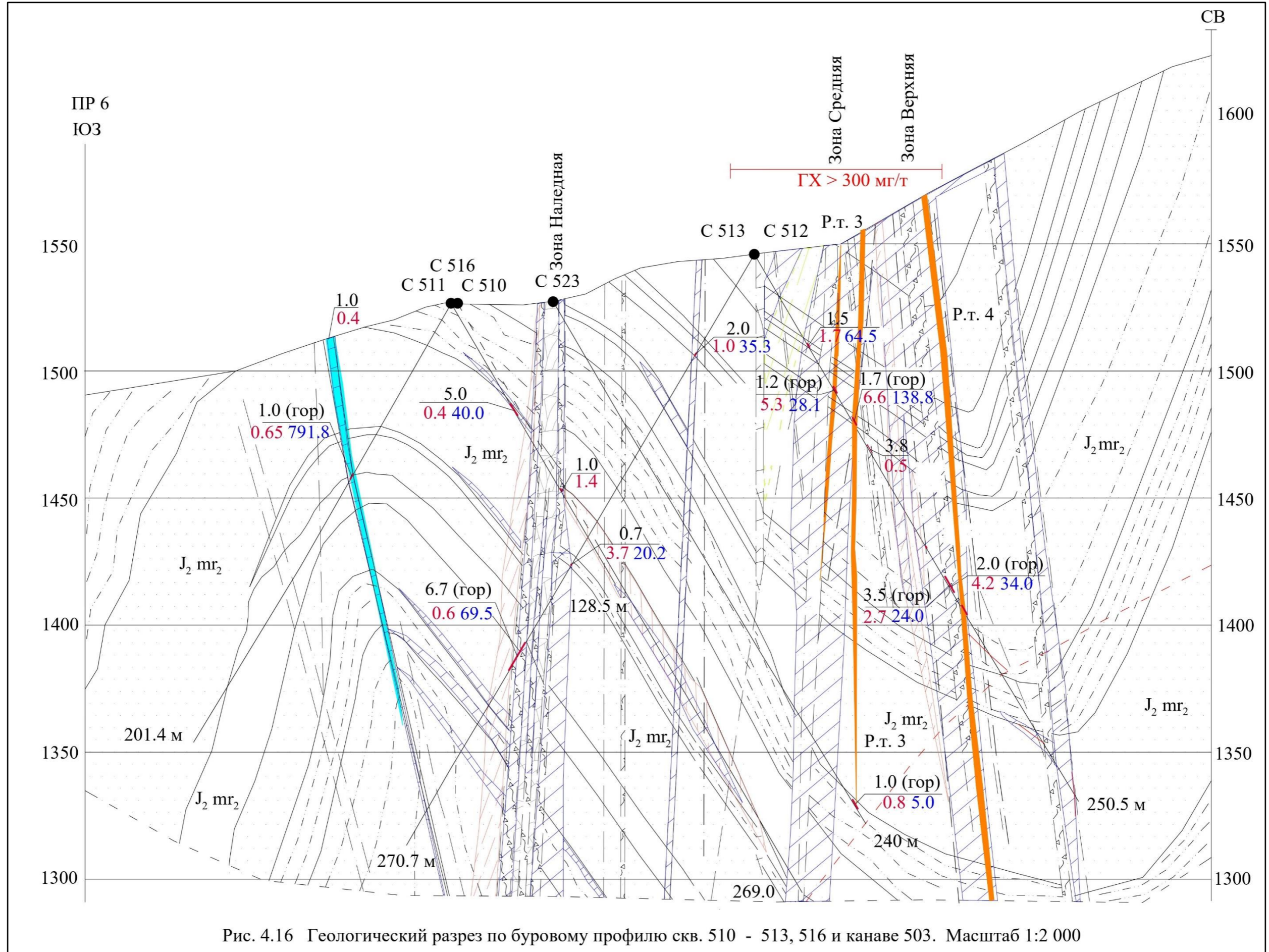


Рис. 4.16 Геологический разрез по буровому профилю скв. 510 - 513, 516 и канаве 503. Масштаб 1:2 000

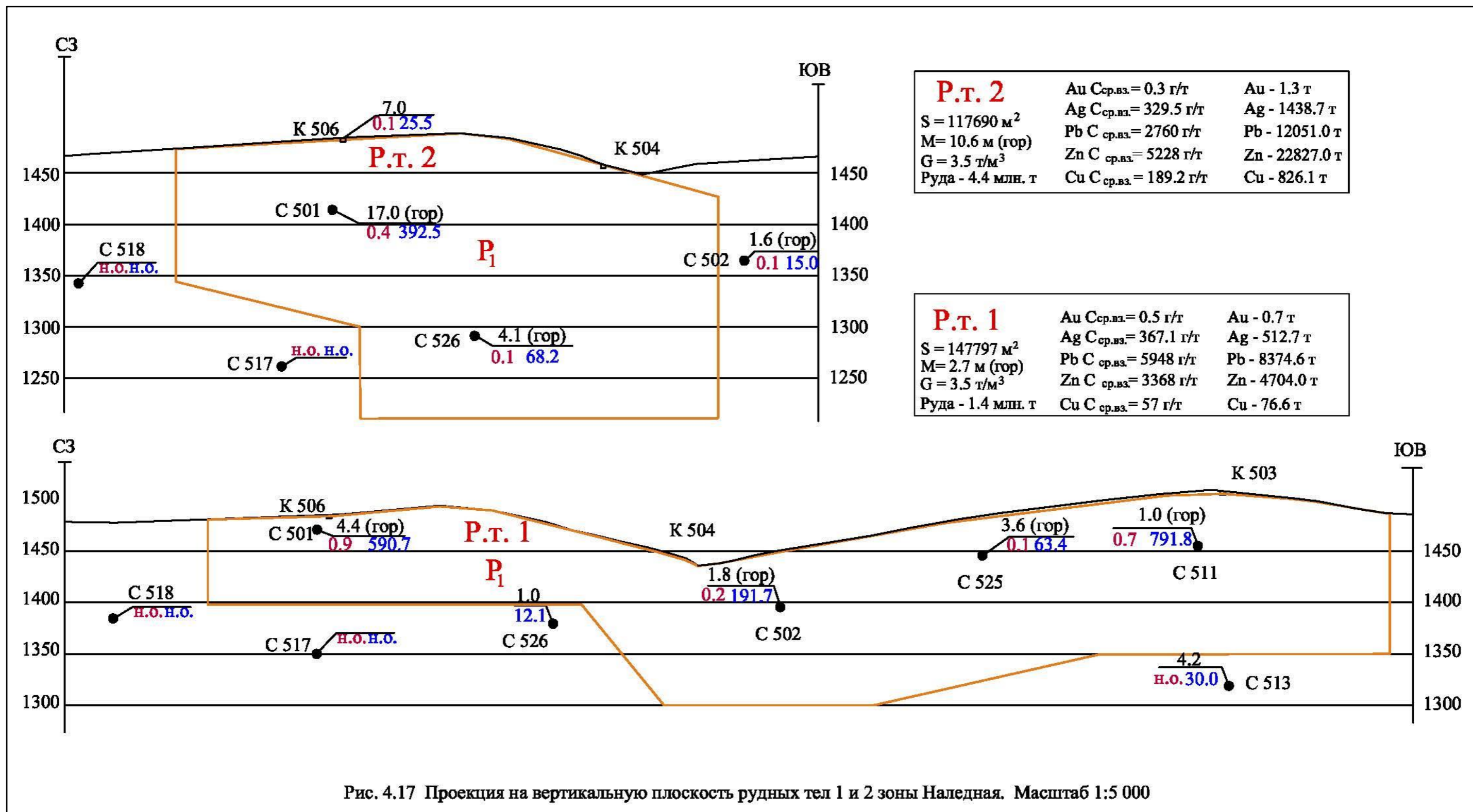


Табл. 4.3
 Параметры рудных тел 1 и 2 минерализованной зоны Наледная

номер горной выработки	Интервал		мощность стволовая (м)	угол падения р. т.	коэффи- циент	Мощ- ность горизон- тальная (м)	содержания средне взвешенные (г/т)		средние содержания по спектральному анализ (г/т)				горизонт (м)
	От	До					Au	Ag	Pb	Zn	Bi	Cu	
Рудное тело 1													
Скв. 501	10,8	16,8	6	75	0,74	4,4	0,9	590,7	7000	3000	0,1	40	1470
Скв. 502	45	47,7	2,7	80	0,65	1,8	0,2	191,7	1500	2000	3	40	1400
Скв. 525	37	44	7	80	0,65	3,6	0,1	63,4	5200	2500	0,5	20	1450
Скв. 511	77,5	79,1	1,6	80	0,65	1	0,7	791,8	10 000	10 000	0,3	300	1450
Рудное тело 2													
Скв. 501	69	91,8	17	60	1	17	0,4	392,5	3150	5500	5	220	1410
Скв. 502	195,6	199,7	4,1	60	1	4,1	0,1	68,2	1000	4000	2	50	1300

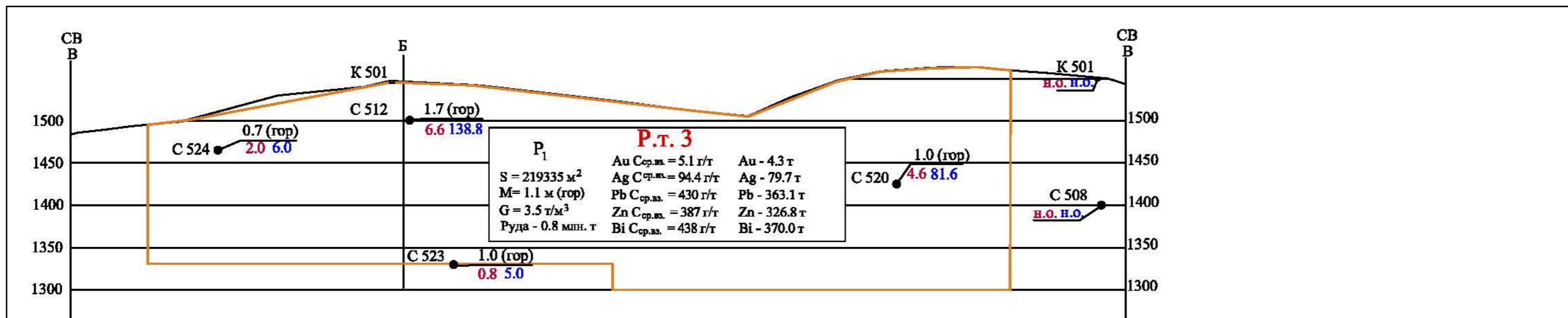


Рис. 4.21 Проекция на вертикальную плоскость рудного тела 3. Масштаб 1:5 000

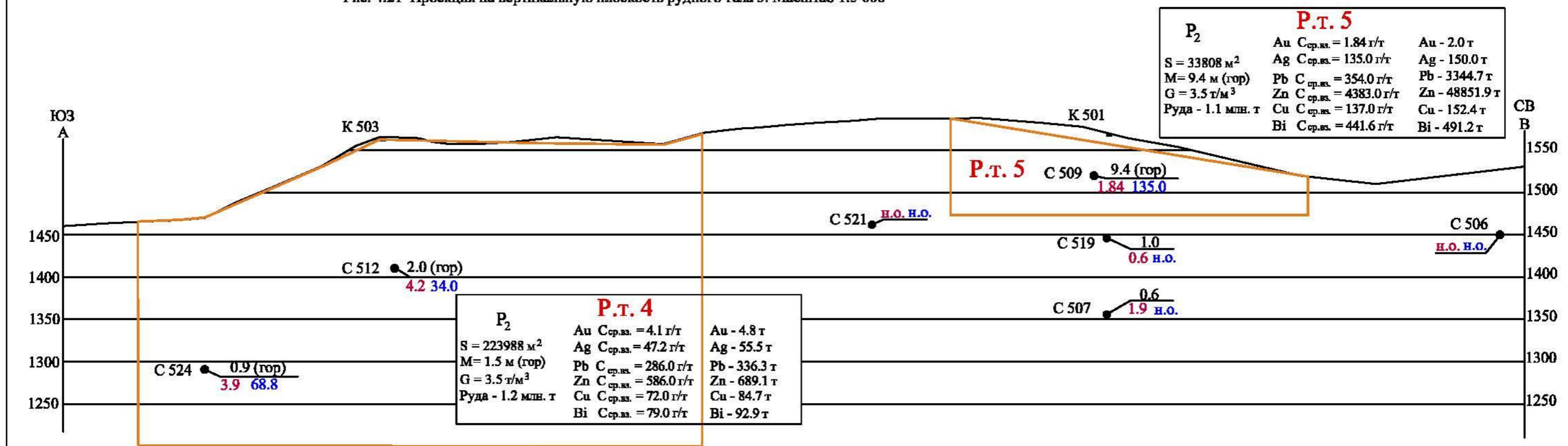


Рис. 4.22 Проекция на вертикальную плоскость рудных тел 4 и 5. Масштаб 1:5 000

Табл. 4.4

Параметры рудных тел № 3, 4, 5, 6 минерализованных зон Средняя, Верхняя и Высотная

номера горных выработок	Интервал		мощность стволовая (м)	угол падения р. т.	коэффи- циент	мощность горизонт. (м)	средне взве- шенное (г/т)		спектральный анализ (г/т)				горизонт (м)
	От	До					Au	Ag	Pb	Zn	Bi	Cu	
Рудное тело 3													
Скв. 524	12,5	14,1	1,5	90	0,5	0,7	2	6	400	700	10	15	1465
Скв. 512	74,7	78	3,3	90	0,5	1,7	6,6	138,8	500	300	500	70	1500
Скв. 520	162,3	163,7	1,4	75	0,74	1	4,6	81,6	200	200	500	60	1420
Рудное тело 4													
Скв. 524	222	223,8	1,8	90	0,5	0,9	3,9	68,8	700	1000	100	100	1290
Скв. 512	160,8	164,8	4	90	0,5	2	4,2	34	100	400	70	60	1410
Рудное тело 5													
Скв. 509	26,2	48	18,8	90	0,5	9,4	1,8	135	354	4383	441,6	137	1525
Рудное тело 6													
Скв. 502	192	193,3	1,3	60	1	1,3	4,6	66,1	4000	10 000	5	30	1270

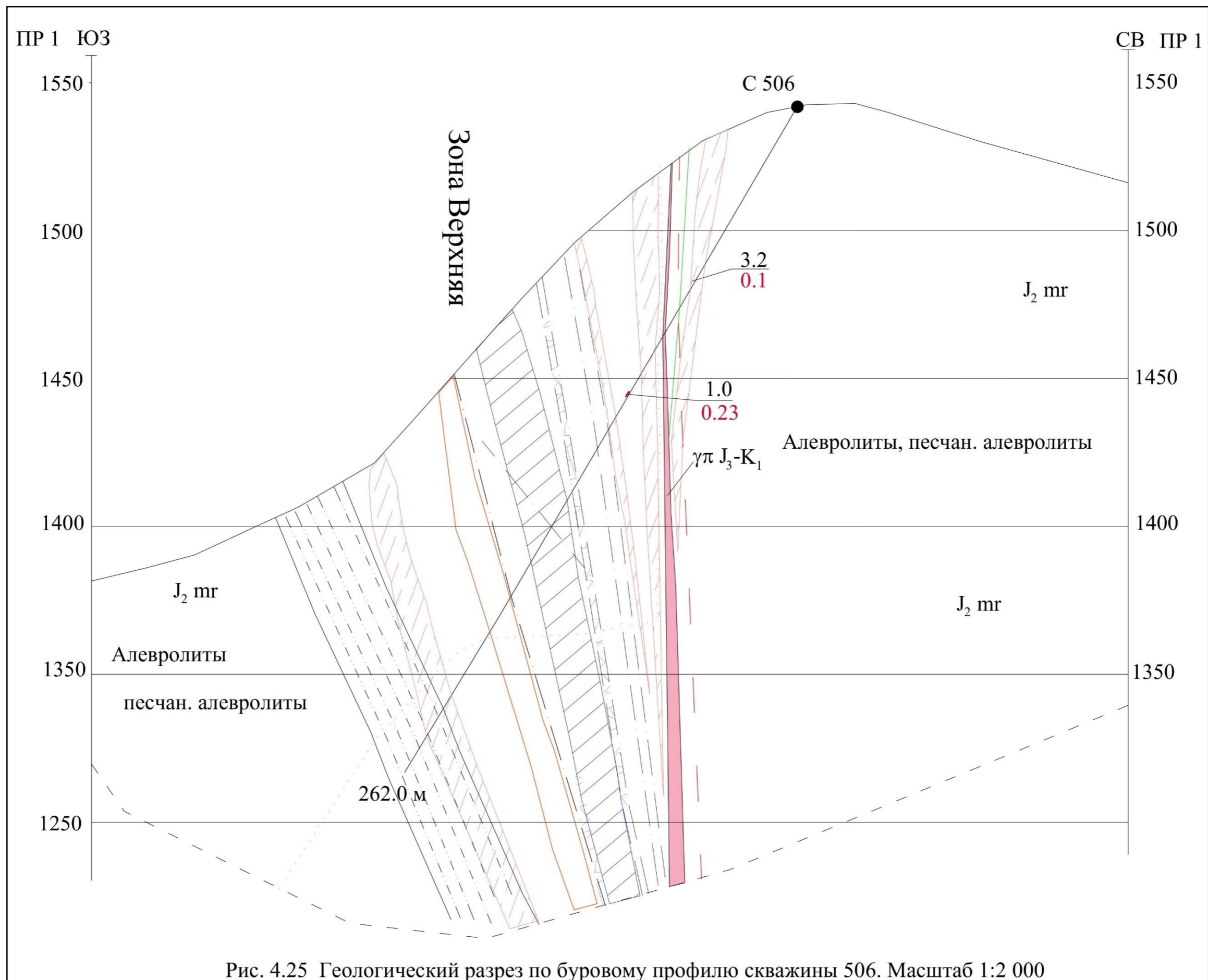
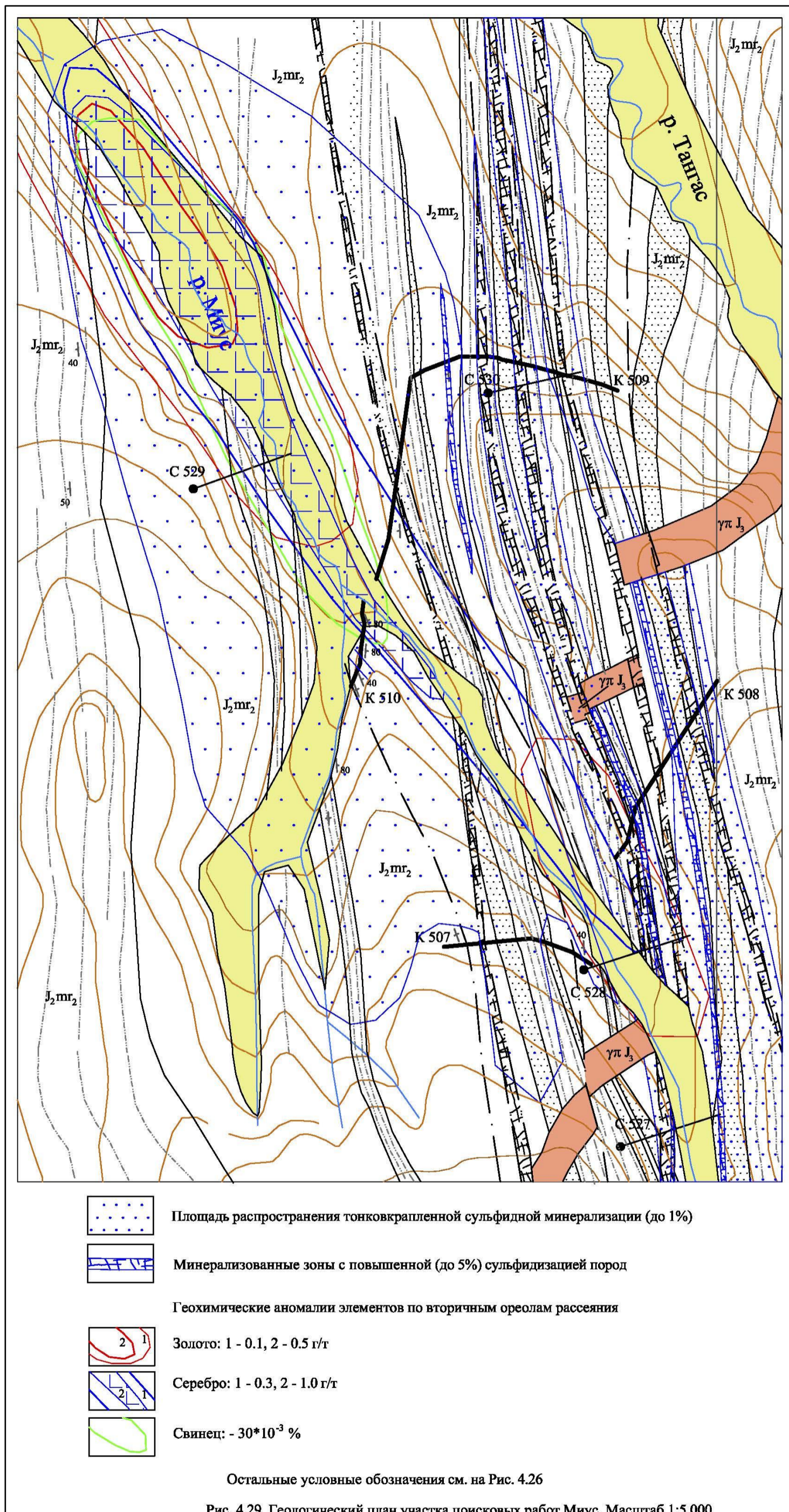


Рис. 4.25 Геологический разрез по буровому профилю скважины 506. Масштаб 1:2 000

Средняя юра Мередуйская свита		Дайковые тела гранит-порфиров
		Монциты, габро-диориты (νδ)
		Алевролиты, песчанистые алевролиты
		Переслаивные песчанистых алевролитов, песчаников
		Песчаники разномерные, массивные и слоистые
		Разрывные нарушения
		Зоны дробления (1) и повышенной трещиноватости (2) пород
		Участки карбонатного и кварц-карбонатного прожилкования
		Участки кварцевого и карбонат-кварцевого прожилкования (> 2%)
		Участки развития арсенопиритовой минерализации
		Участки интенсивной сульфидизации пород (пирит > 5%)
		Литохимические аномалии золота (1 - >10, 2 - >300 мг/т) по вторичным ореолам рассеяния
		Рудные тела серебро-полиметаллической (1) и золото-пирит-арсенопиритовой (2) минеральных ассоциаций
		Мощность и средневзвешенное содержание золота и серебра в рудном сечении (в г/т)
		Канавы пройденные ООО "Станнолит"
		Скважины колонкового бурения пройденные ООО "Станнолит":

Рис. 4.26 Условные обозначения к Рис. 4.5-4.7, 4.11-4.16, 4.25



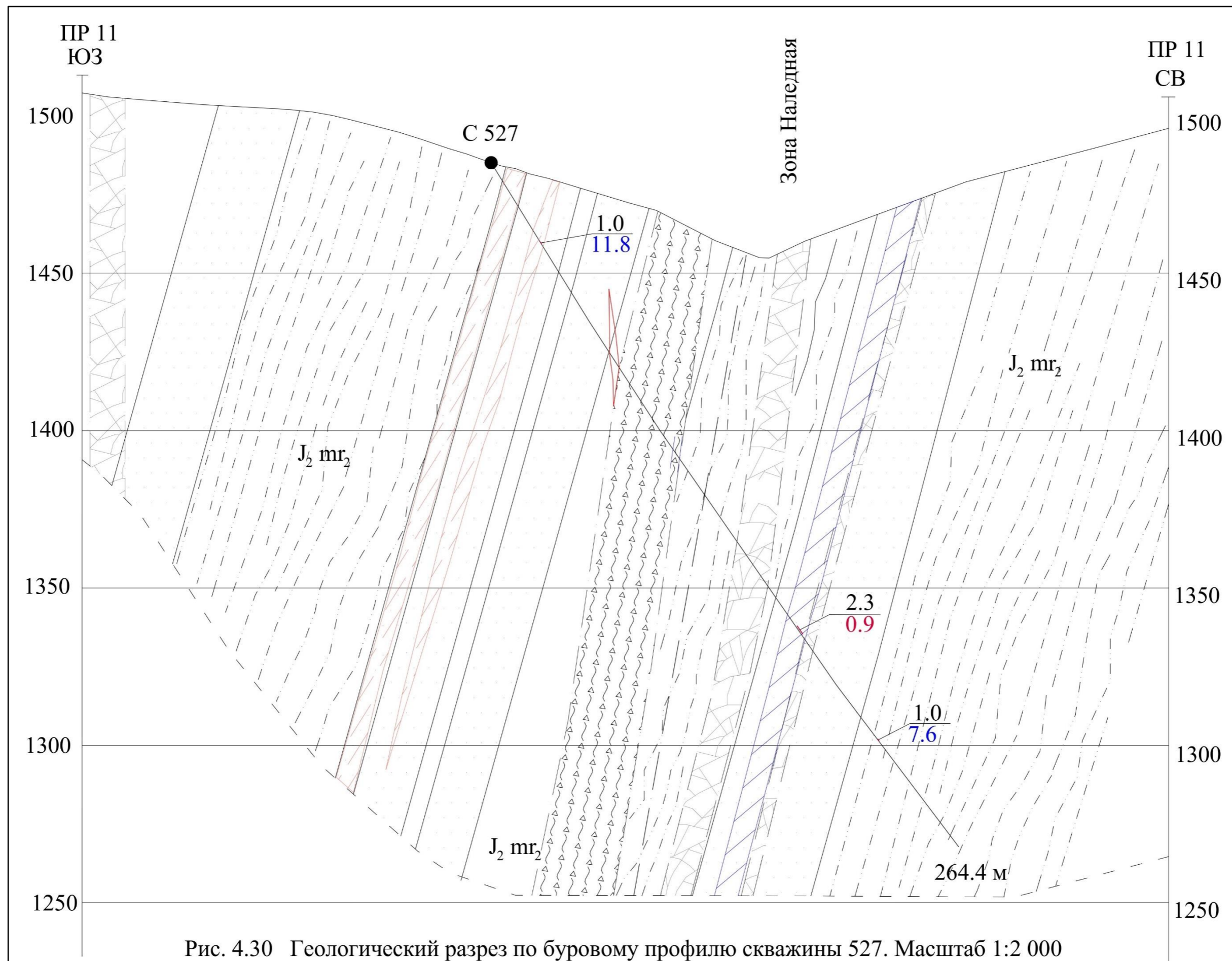


Рис. 4.30 Геологический разрез по буровому профилю скважины 527. Масштаб 1:2 000

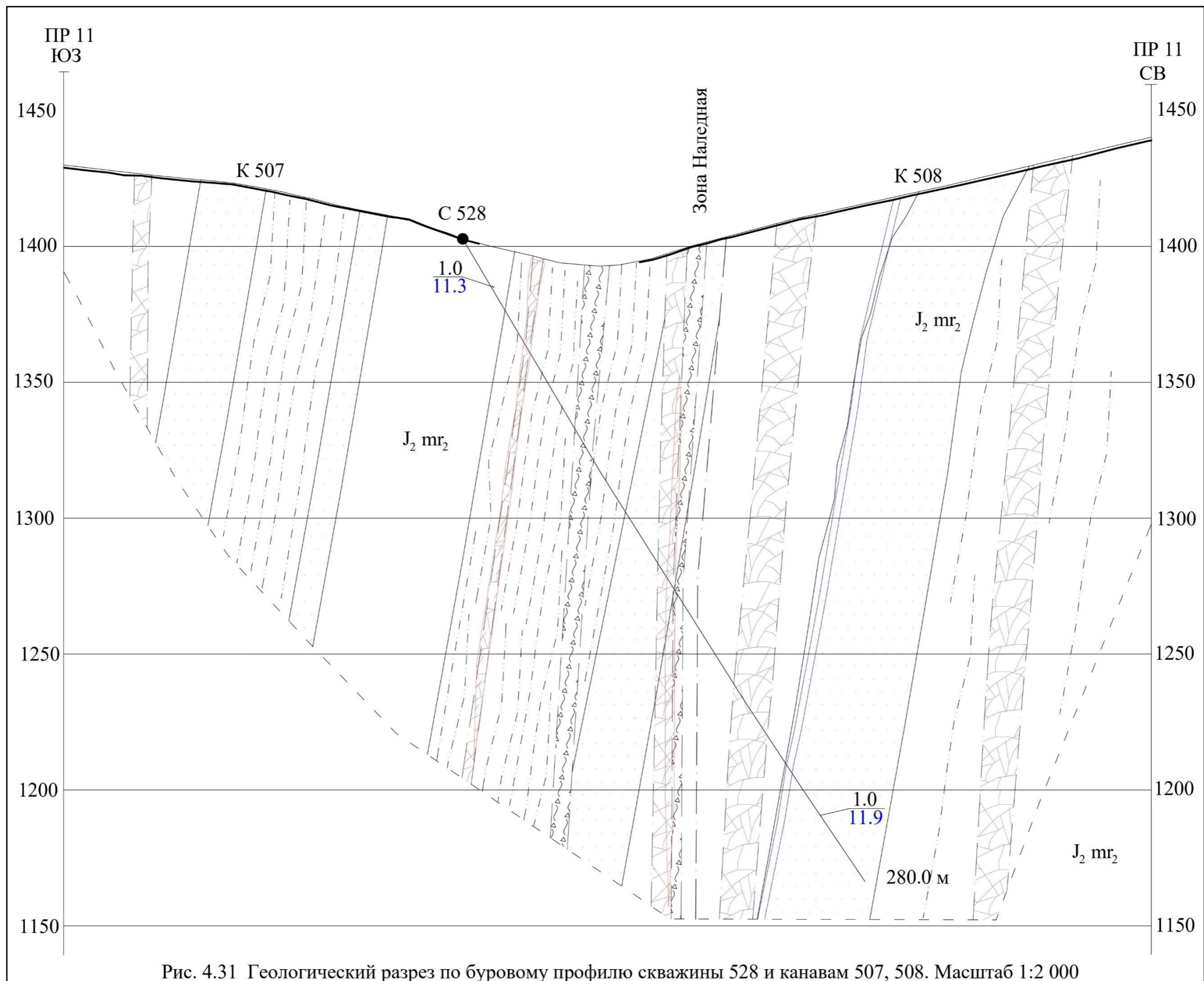


Рис. 4.31 Геологический разрез по буровому профилю скважины 528 и канавам 507, 508. Масштаб 1:2 000

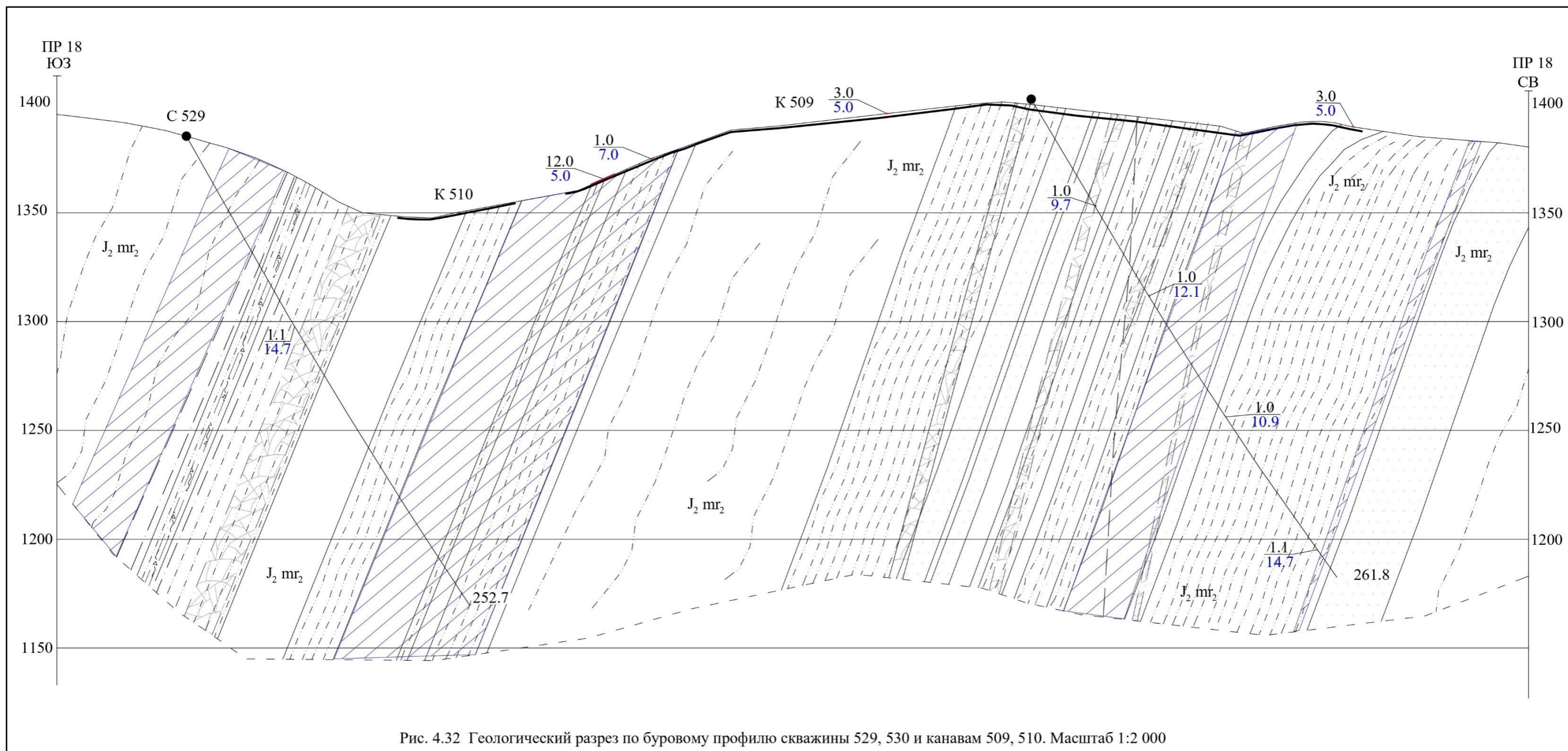
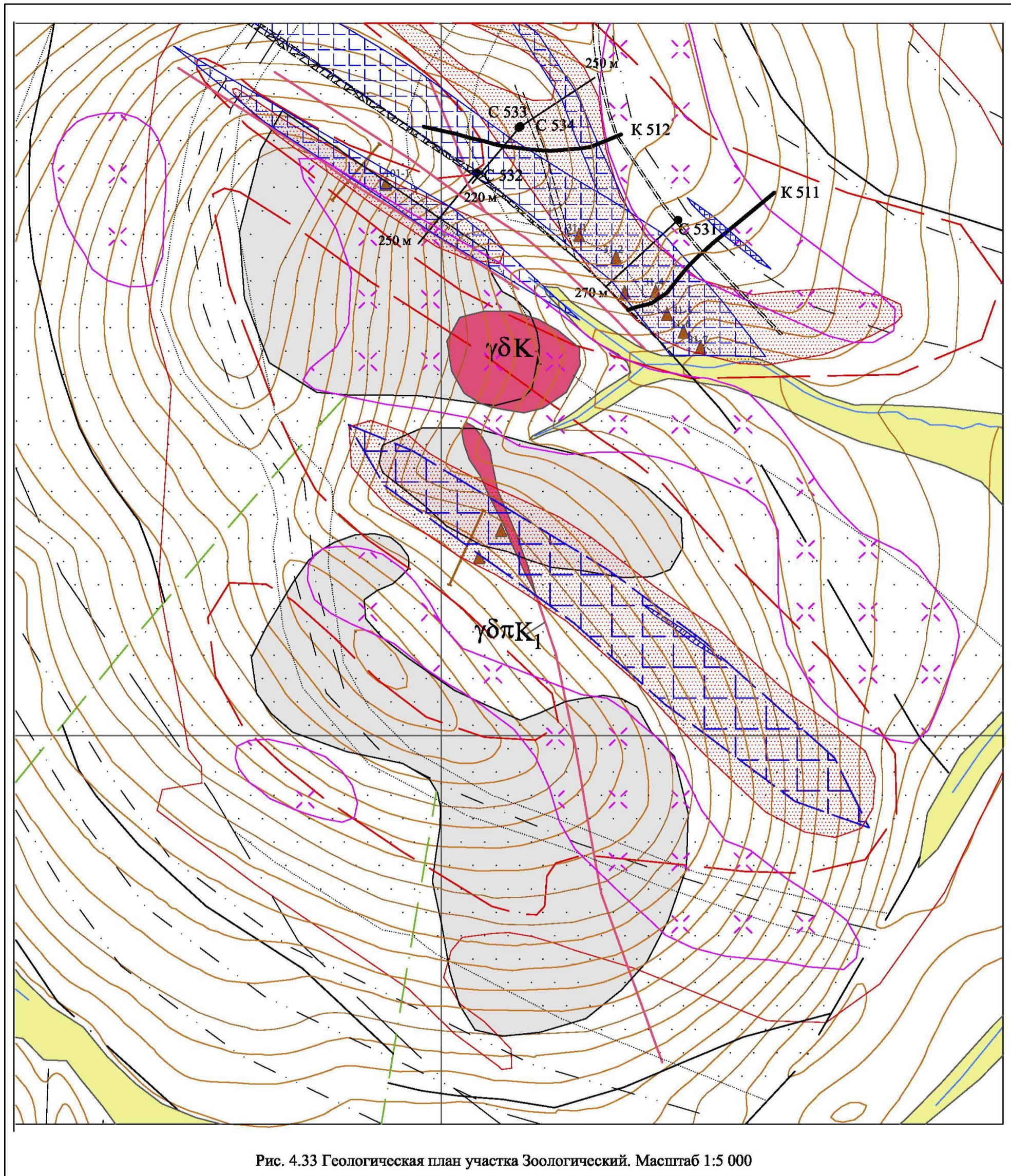
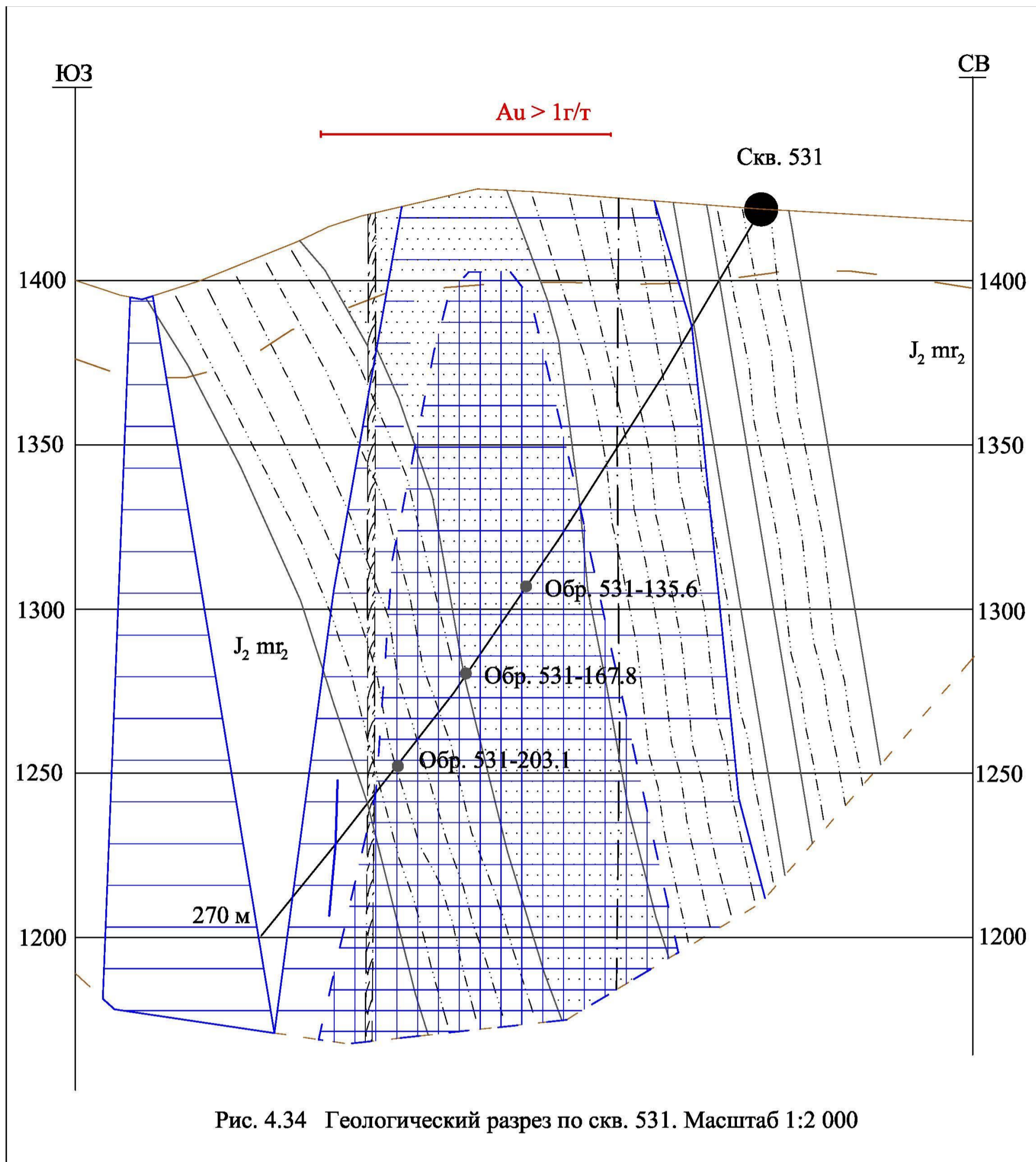


Рис. 4.32 Геологический разрез по буровому профилю скважины 529, 530 и канавам 509, 510. Масштаб 1:2 000





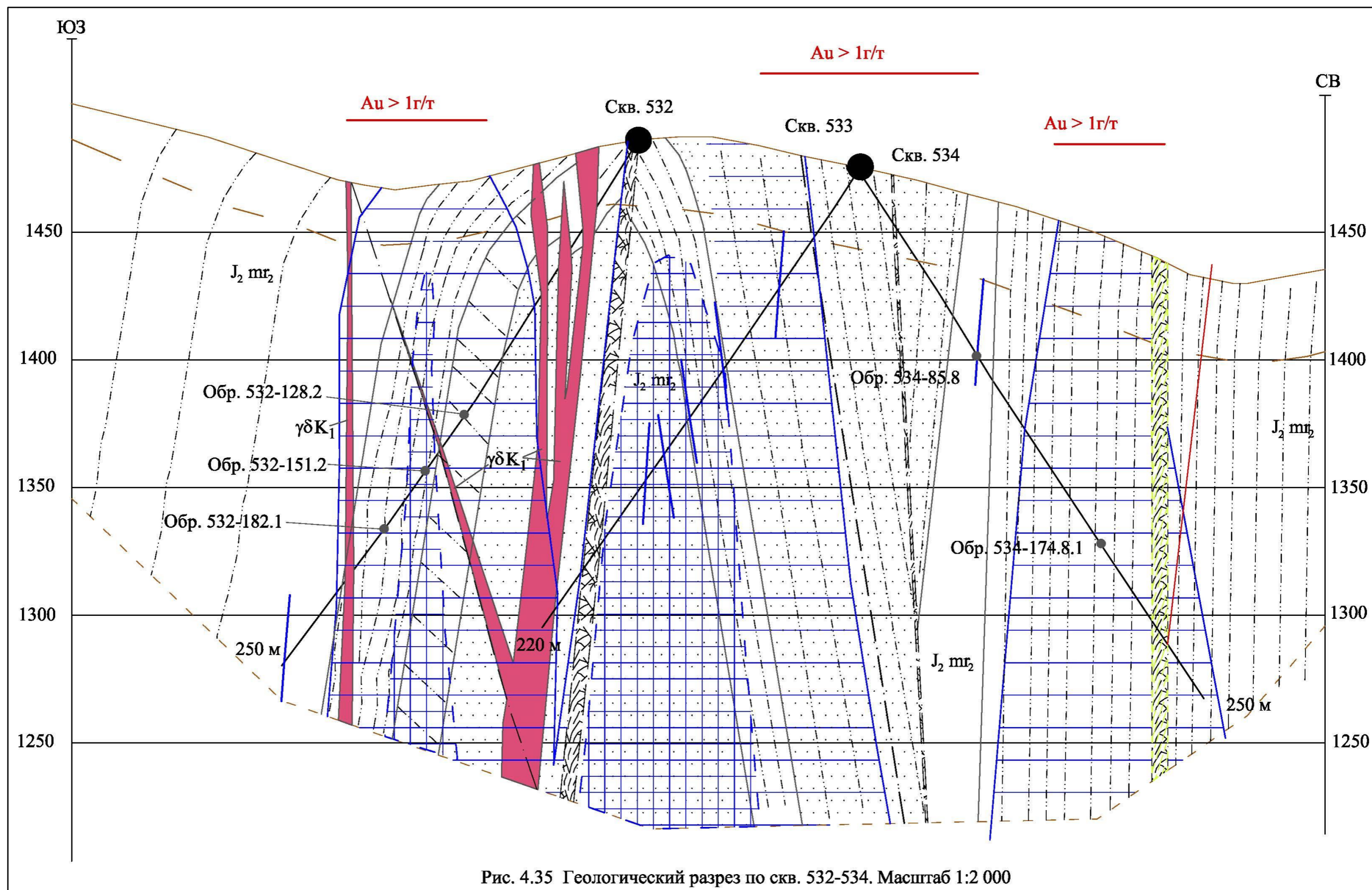


Рис. 4.35 Геологический разрез по скв. 532-534. Масштаб 1:2 000

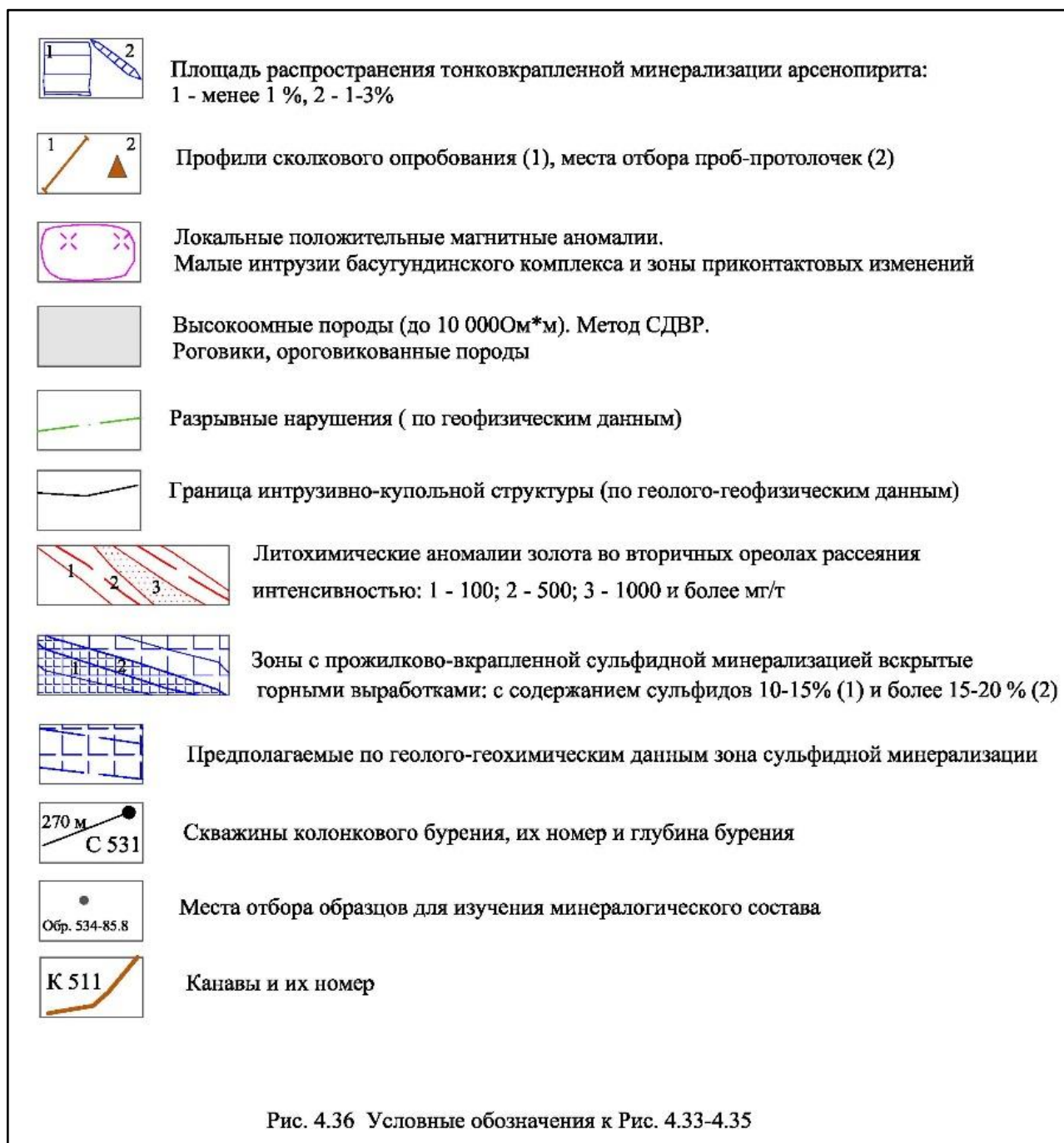


Рис. 4.36 Условные обозначения к Рис. 4.33-4.35

Приложение 32



Рис. 4.39 Геологический план участка поисковых работ Скелетный. Масштаб 1:10 000

